

FAMSI © 2004: David F. Mora-Marín

Proyecto Documentación de Inscripciones del Preclásico Tardío

Traducido del Inglés por Alex Lomónaco



Año de Investigación: 2000

Cultura: Maya

Cronología: Pre-Clásico Tardío

Ubicación: Guatemala, México, Belice

Sitios: Varios

Tabla de Contenidos

[Introducción](#)

[Por qué LAPIDA es necesario](#)

[Diseño del proyecto y métodos](#)

[Resultados obtenidos hasta la fecha](#)

[Comparación de dibujos](#)

[Historia del arte y paleografía](#)

[Discusión epigráfica preliminar](#)

[Conclusiones](#)

[Apéndice](#)

[Lista de Figuras](#)

[Referencias Citadas](#)

Introducción

Este informe tiene que ver con el estado actual del Proyecto Documentación de Inscripciones del Preclásico Tardío (Late Preclassic Inscription Documentation Project – LAPIDA), que estoy llevando adelante con el apoyo de FAMSI y otras organizaciones¹. He diseñado LAPIDA teniendo en mente un objetivo a corto plazo: reunir datos precisos para mi tesis de doctorado, que trata sobre la ortografía y gramática de los textos mayas del Preclásico Tardío. Durante mi investigación he observado que algunos de los dibujos publicados de textos monumentales y móviles del Preclásico Tardío son a veces poco precisos en detalles que podrían afectar el estudio de la epigrafía. Por esta razón, decidí emprender la documentación primaria del subgrupo de textos del Preclásico Tardío que creo son más aptos para el estudio epigráfico.

En los párrafos que siguen justifico la necesidad de este proyecto, explico sus métodos, presento los resultados obtenidos hasta hoy, y ofrezco una discusión preliminar de algunos de los datos. Termino con una sugerencia para que LAPIDA pase a ser un proyecto a largo plazo y se puedan documentar las inscripciones más tempranas en toda Mesoamérica. Los objetivos de este nuevo y más amplio proyecto LAPIDA radicarían en reunir datos precisos relacionados con la comprensión del origen y la difusión de las escrituras mesoamericanas, y ayudar a su desciframiento.

Entregado el 1 de noviembre del 2000 por:

David F. Mora-Marín

davidmm@email.unc.edu

Por qué LAPIDA es necesario

La necesidad del Proyecto LAPIDA requiere de una explicación, puesto que los dibujos publicados en muchos de los textos importantes para el estudio de la primera escritura maya ya existen. Por ejemplo, al menos dos dibujos de la máscara pectoral de jadeíta del Museo de Arte de Brooklyn ya fueron publicados: uno en Covarrubias (1957:figura 94) ([Figura 1](#)), y uno en Schele y Miller (1986:150-151, Lámina 45) ([Figura 2](#)). Pero cuando se comparan ambos dibujos con la fotografía de Soustelle (1979:Láminas 60 y 61) ([Figura 3](#)), puede apreciarse que faltan ciertos detalles, los cuales he incluido en el dibujo final publicado aquí por primera vez ([Figura 4](#)).

¹ Además del financiamiento de FAMSI, mi Proyecto LAPIDA también ha recibido apoyo económico del Instituto para los Estudios Mesoamericanos, de la Asociación de Benevolencia, y de la Organización de Estudiantes Graduados de la Universidad del Estado de New York en Albany. He realizado trabajos de investigación en los siguientes museos y colecciones: en la Biblioteca de Investigaciones y Colección Dumbarton Oaks, en la Galería de Arte Yale, en el Museo del Jade Fidel Tristán en Costa Rica, en el Museo Nacional de Costa Rica, en el Museo de Arte de Brooklyn, en el Museo Peabody, en el Museo de Arte de Princeton, y en el Museo Nacional de Arqueología y Etnología de la ciudad de Guatemala.

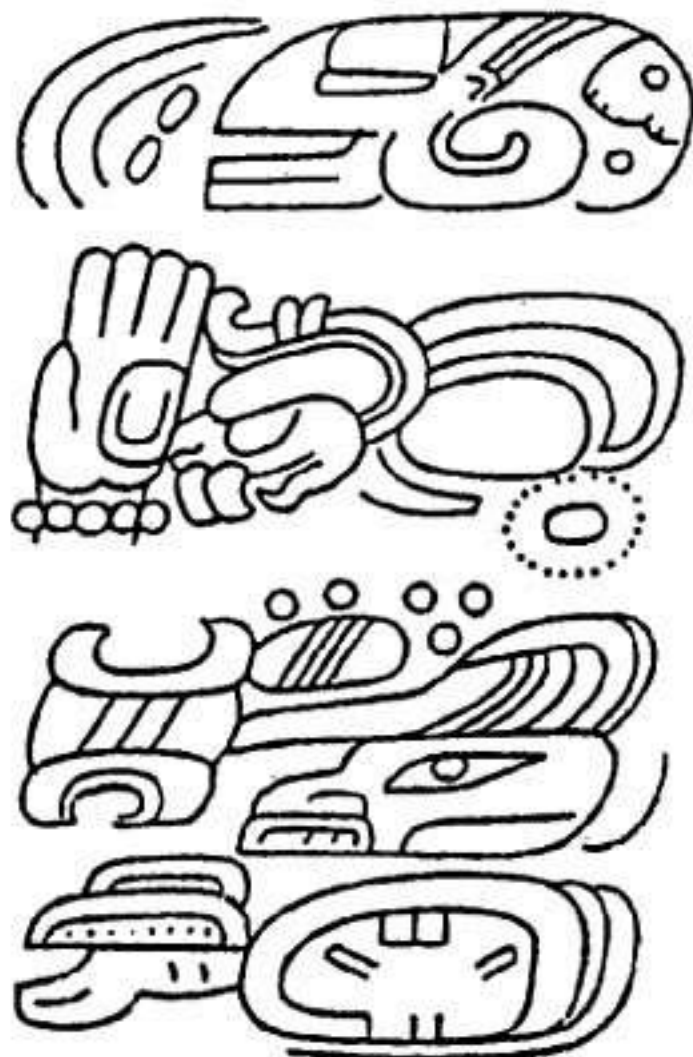


Figura 1. Máscara pectoral de jadeíta del Museo de Arte de Brooklyn, Covarrubias (1957:figura 94).

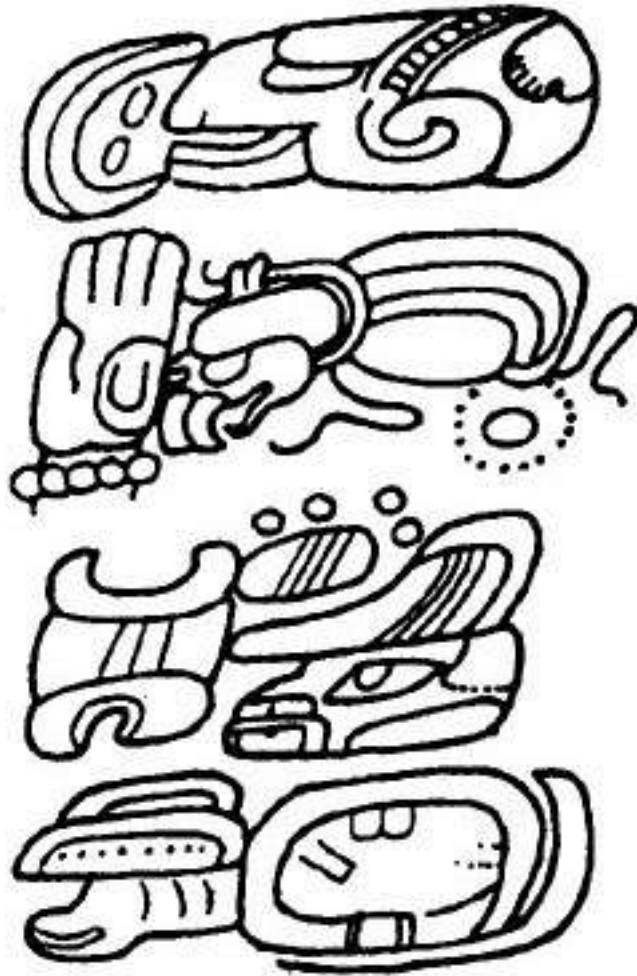


Figura 2. Máscara pectoral de jadeíta del Museo de Arte de Brooklyn, Schele y Miller (1986:150-151, Lámina 45).

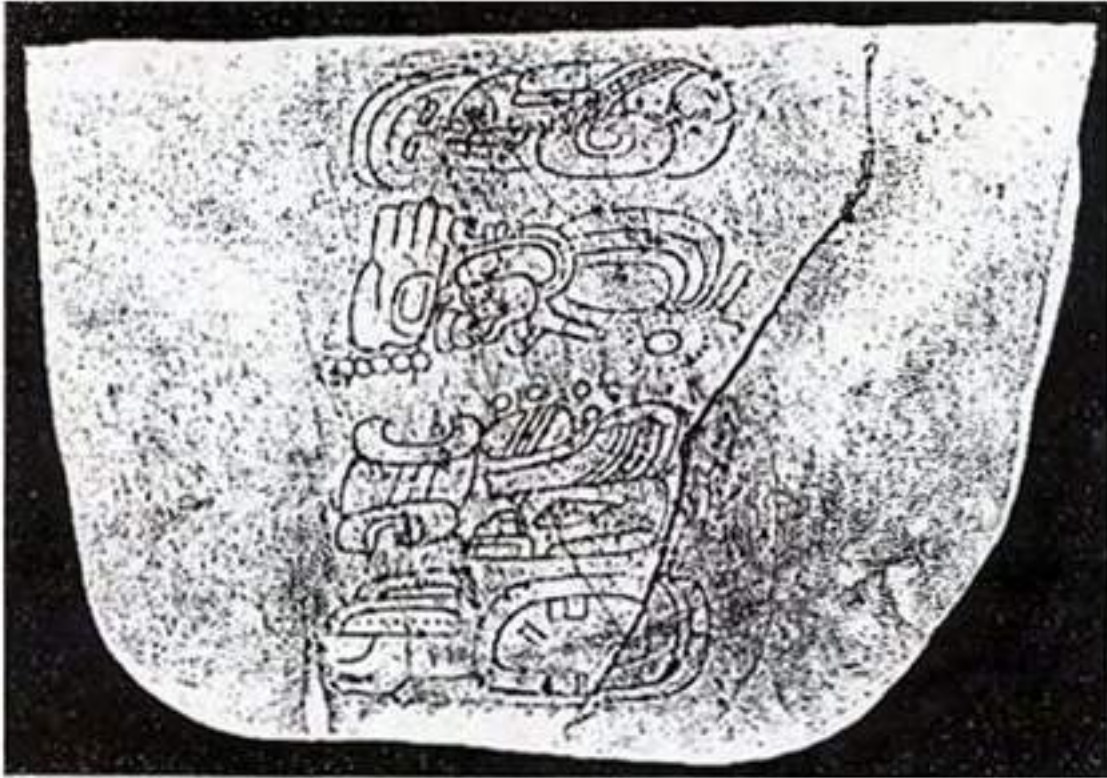


Figura 3. Máscara pectoral de jadeíta del Museo de Arte de Brooklyn, Soustelle (1979:Láminas 60 y 61).

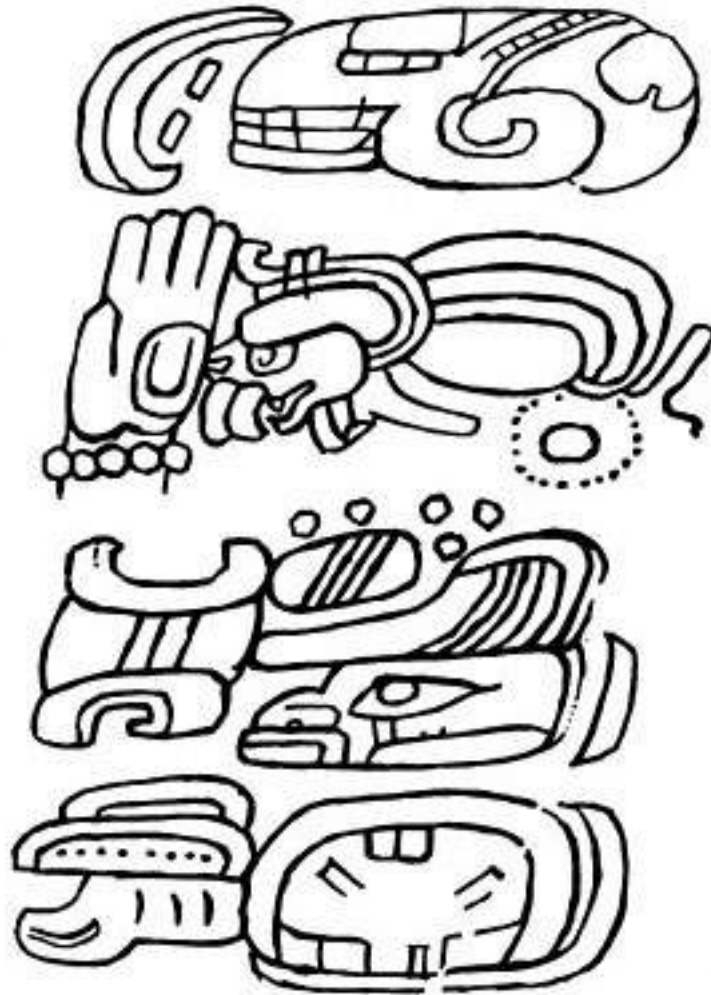


Figura 4. Máscara pectoral de jadeíta del Museo de Arte de Brooklyn (máscara MAB).

Another case is the drawing of the Dumbarton Oaks quartzite pectoral published in Coe (1968: figura 11). Otro caso es el dibujo del pectoral de cuarcita de Dumbarton Oaks, publicado en Coe (1968: figura 11). Entre los detalles que le faltan a este dibujo hay uno que es crucial para la determinación de la afiliación lingüística de este texto. Una comparación del dibujo de Coe del glifo en C6a con mi propio dibujo de ese glifo ([Figura 5](#)) puede mostrar a qué me refiero. Al dibujo de Coe le falta un ejemplo de T1 **7u** dentro de T126 **ya**. Esta ortografía fonética preglótica del prefijo ergativo/posesivo de la tercera persona del singular, **7u-ya** por **7uy-**, tiene implicaciones importantes: sólo el cholán y el yucateco innovaron un **7uy-** alomorfo de este prefijo en maya. En verdad, el tzeltal y al gran kanjobal tienen **y-** pero no **7uy-**; otras lenguas mayas tienen **r-** (gran quiché), **t-** (gram mame), o **in-** (huasteco). Usando el dibujo anterior, no habría sido posible hacer una discriminación tan acotada.

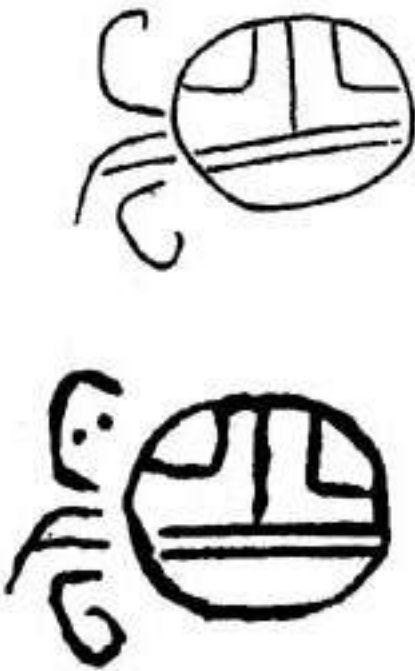


Figura 5. Pectoral de cuarcita de Dumbarton Oaks.

Diseño del proyecto y métodos

El procedimiento comprende los seis pasos que siguen: (i) escaneo y procesamiento de fotografías, (ii) impresiones láser ampliadas, (iii) notas de campo y dibujos, (iv) pasado a tinta de los dibujos, (v) escaneo de los dibujos, y (vi) publicación de los dibujos en medios gráficos y en línea.

Primero, se hace un escaneo de alta resolución de una fotografía del texto, y la imagen se mejora (aumentando el foco o la nitidez) cuanto sea necesario ([Figura 6](#)). (Yo usé el Photoshop de Adobe para el procesamiento de imágenes). A partir de una fotografía en blanco y negro (es decir en una escala de grises), si los glifos incisos son oscuros (por ejemplo si tienen rellenos de pigmento rojo o negro) y están rodeados por una superficie más clara (por ejemplo verde mineral claro), se obtiene una impresión láser a escala aumentada, en este punto. Sin embargo, si las incisiones son claras (por ejemplo de pigmento blanco) y están rodeadas por una superficie más oscura (por ejemplo verde mineral oscuro), la imagen primero se invierte a su negativo de modo que las incisiones se oscurezcan y resulten más sencillas de ver a través del papel de calcar ([Figura 7](#)). Si se usa una fotografía a color, puede ser más útil escanear la fotografía a color que en una escala de grises; una vez escaneada, es posible (con el Photoshop de Adobe) ver la imagen bajo distintos filtros: rojo, azul, verde, y RAV (los tres juntos). Si los glifos incisos están rellenos con pigmento rojo, por ejemplo, aplicar el filtro azul puede mejorar el contraste y producir una imagen más adecuada. Invertir la

imagen a su negativo también puede mejorar el contraste, al igual que en el caso de las fotografías en la gama de gris.



Figura 6. Proceso de creación de imágenes.

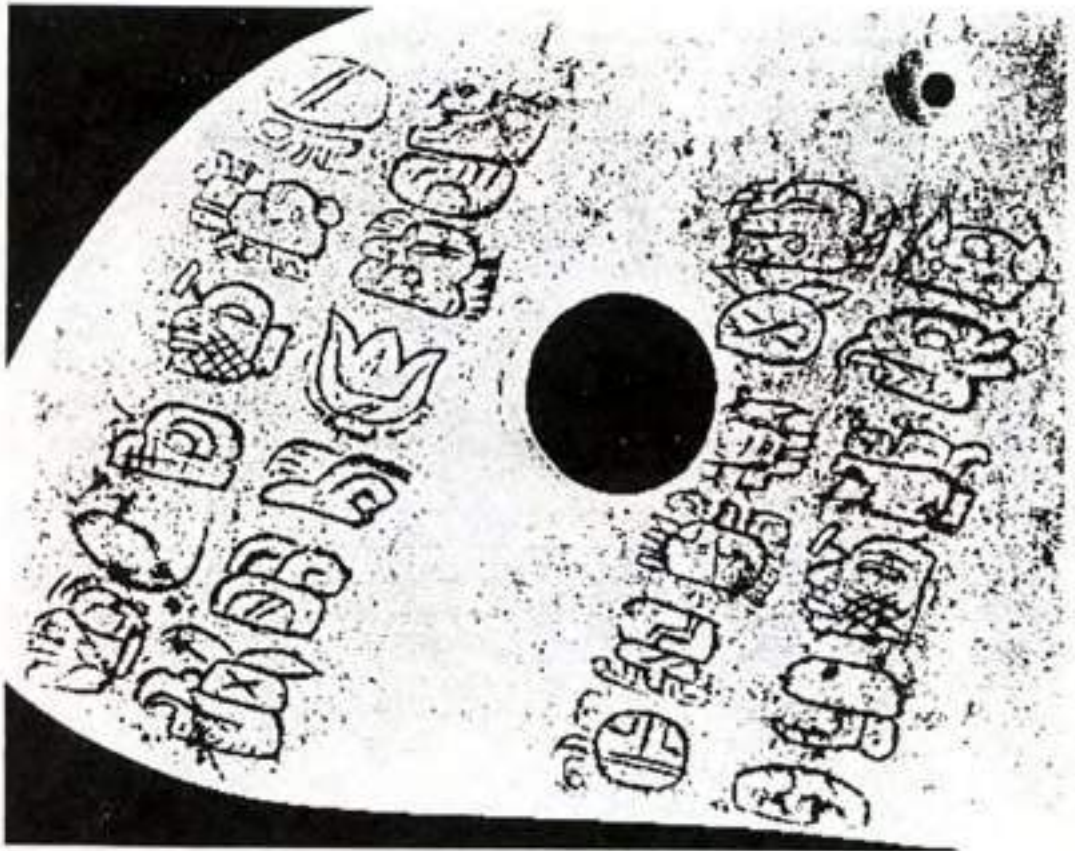


Figura 7. Proceso de creación de imágenes.

Entonces, se hace una impresión ampliada. Le impresión ampliada se sujeta con cinta de pegar a un tablero de dibujo portátil, y sobre la impresión ampliada se sujeta de igual forma papel de calcar. Usando un lápiz, lupas de distintos aumentos, y de ser posible una o dos fuentes distintas de luz portátiles, se dibuja la inscripción a partir de un examen del artefacto de primera mano. El boceto se hace sobre el papel de calcar que está sujeto encima de la impresión ampliada de la fotografía del texto ([Figura 8](#)). Las fuentes de luz le permiten a uno mejorar los contrastes de luz y sombra de las incisiones, cuando se las apunta en ángulos oblicuos con respecto a la superficie inscrita, y desde diferentes direcciones (por ejemplo, haciendo un barrido de luces). Deberían usarse guantes (de algodón o látex descartables) para manipular el objeto.

A continuación, se realiza una fotocopia ampliada o una impresión láser del dibujo de campo del texto ([Figura 9](#)). El papel calco se pega sobre la fotocopia o impresión, y el dibujo se calca con tinta usando un tablero liviano. Las imágenes producidas (fotográficas y artísticas) están escaneadas y listas para su publicación on-line, o fotocopias para su difusión en otros medios ([Figura 10](#)). Uno de los objetivos de este informe interino es completar éste último paso.

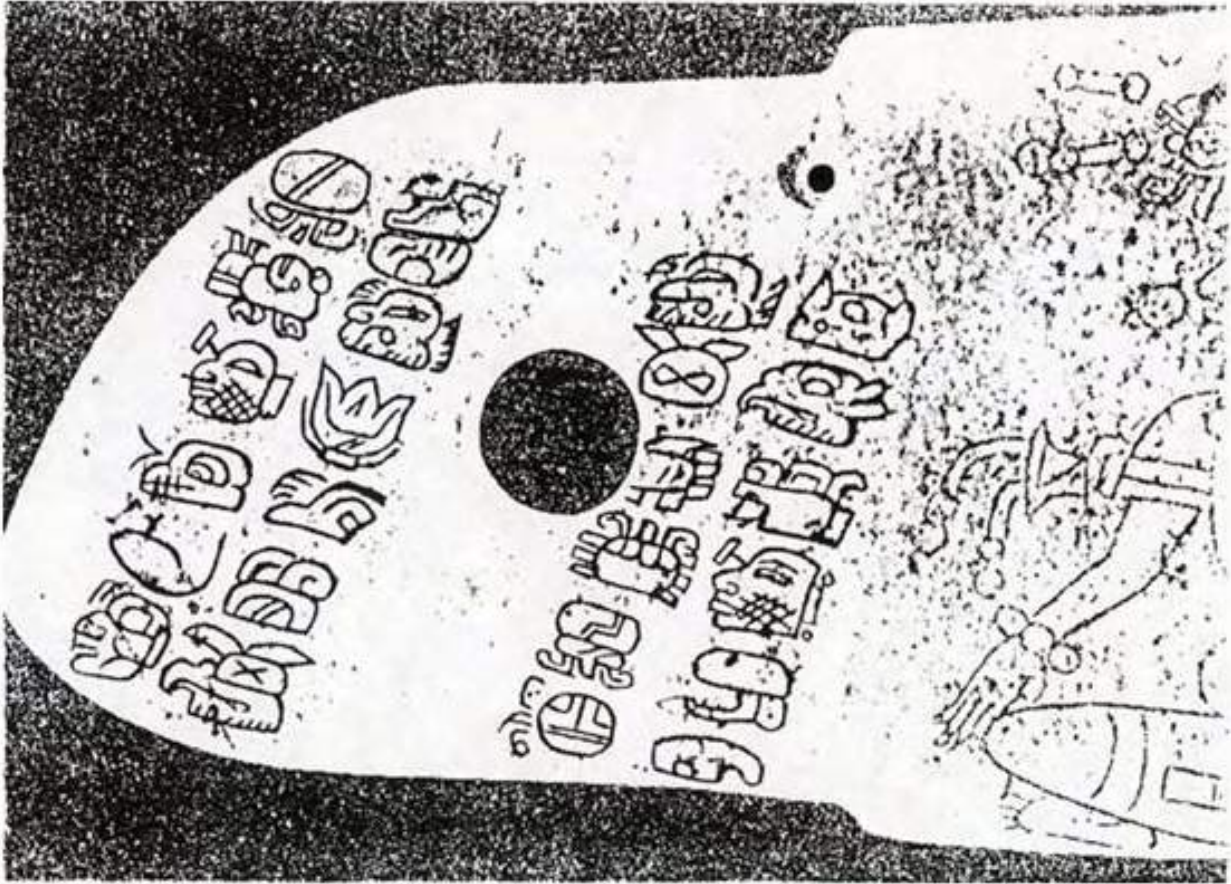


Figura 8. Proceso de creación de imágenes.

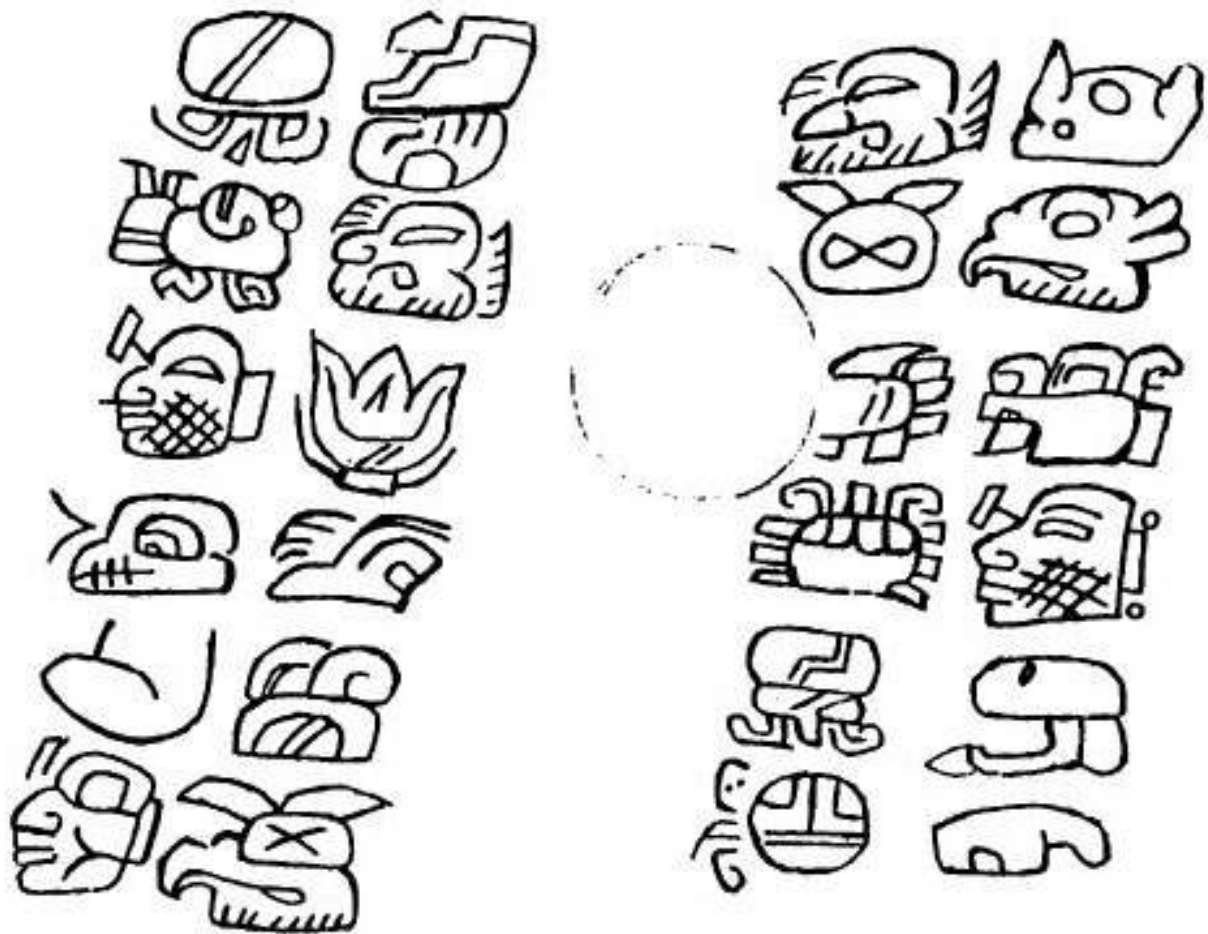


Figura 9. Proceso de creación de imágenes.



Figura 10. Pectoral de jade de Dumbarton Oaks (Pectoral DO).

Resultados obtenidos hasta la fecha

Incluidos en este informe están los dibujos finales de los siguiente textos tempranos (para un detalle de las abreviaturas, véase el Apéndice):

1. Pectoral de jade de Dumbarton Oaks ([Figura 10](#), Pectoral DO).
2. Cincel de jadeíta de Dumbarton Oaks ([Figura 11](#), Cincel DO).
3. Cuchara de jade del Museo del Jade ([Figura 12](#), Cuchara MJ).
4. Placa de jade no. 4444 del Museo del Jade ([Figura 13](#), INS 4444).
5. Placa de jade no. 4443 del Museo del Jade ([Figura 14](#), INS 4443).
6. Placa de jade no. 4442 del Museo del Jade ([Figura 15](#), INS 4442).
7. Placa de jade no. 4441 del Museo del Jade ([Figura 16](#), INS 4441).
8. Placa de jade no. 4440 del Museo del Jade ([Figura 17](#), INS 4440).
9. Placa de jade no. 2007 del Museo del Jade ([Figura 18](#), INS 2007).
10. Placa de jade no. 2006 del Museo del Jade ([Figura 19](#), INS 2006).
11. Disco de pizarra no. 6528 del Museo del Jade ([Figura 20](#), INS 6528).
12. Placa de jade no. 4563 del Museo del Jade ([Figura 21](#), INS 4563).
13. Disco de pizarra de La Fortuna ([Figura 22](#), LF disk).
14. Figurilla de jaguar del Museo Peabody de Yale ([Figura 23](#), Jaguar MPY).

15. Cuenta tubular de jade del cenote ([Figure 24](#), CNT 6125).
16. Cuenta tubular de jade del cenote ([Figura 25](#), CNT 22001).
17. Panel inferior de glifos de la Estela Hauberg ([Figura 26](#), [Figura 27](#), [Figura 28](#), and [Figura 29](#), Estela HBG).
18. Panel inferior de glifos de la Estela 10 de Kaminaljuyú ([Figura 30](#), Estela 10 KJ).
19. Máscara pectoral de jadeíta del Museo de Arte de Brooklyn ([Figurea 4](#), máscara MAB).

Para algunos dibujos, todavía no tuve la ventaja de una observación de primera mano, pero he usado fotografías publicadas de alta resolución para mejorar los dibujos publicados previamente. Por lo tanto, los dibujos que siguen son solamente preliminares:

20. Hacha de jade de Hatzcap Ceel ([Figura 31](#), Hacha HTZ).
21. Hacha de jade de Kendal ([Figura 32](#), Hacha KND).
22. Concha de almeja sin procedencia ([Figura 33](#), Concha SPR, K763).
23. La orejera de jade de Pomona ([Figura 34a](#), y [Figura 34b](#), Orejera PMA).
24. El pectoral del Museo Británico ([Figura 35](#), Pectoral MB).
25. La placa de jade del Museo de Cleveland ([Figura 36](#), Placa MC).
26. Una placa de jade según se informa de Nosara, Nicoya, Costa Rica ([Figura 37](#)) publicada en Stone (1968: figura 9).
27. Una placa de jade sin procedencia según se informa de Costa Rica ([Figura 38](#)) publicada en Stone (1977:68, figura 78c).

Mi investigación de doctorado se concentra en los cuatro siguientes artefactos con inscripciones: pectoral DO, cuchara MJ, jaguar MPY, y concha de almeja SPR. También hay discusiones de otros textos, pero menos detalladas. A continuación discuto las diferencias entre mis dibujos de estos textos y los dibujos publicados con anterioridad.

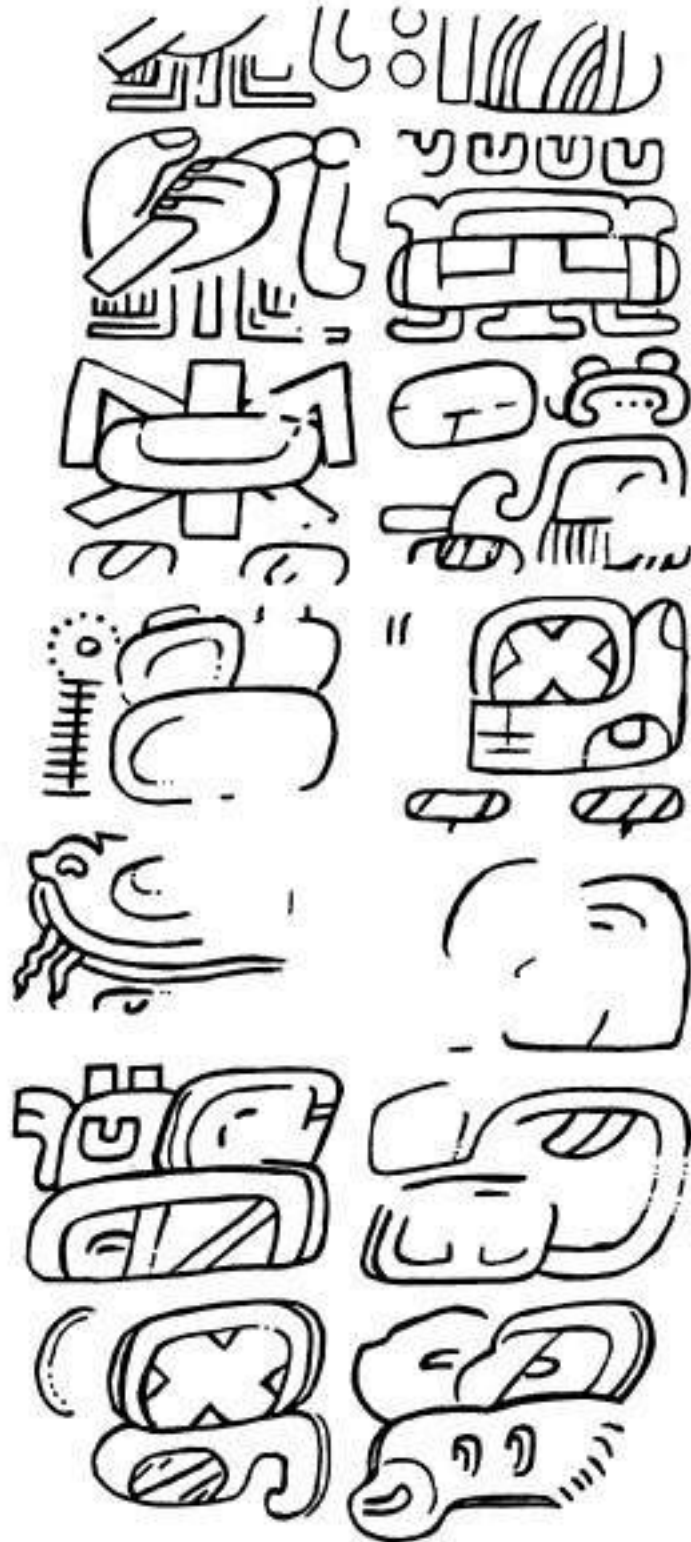


Figura 11. Cincel de jadeíta de Dumbarton Oaks (Cinzel DO).



Figura 12. Cuchara de jade del Museo del Jade (Cuchara MJ).

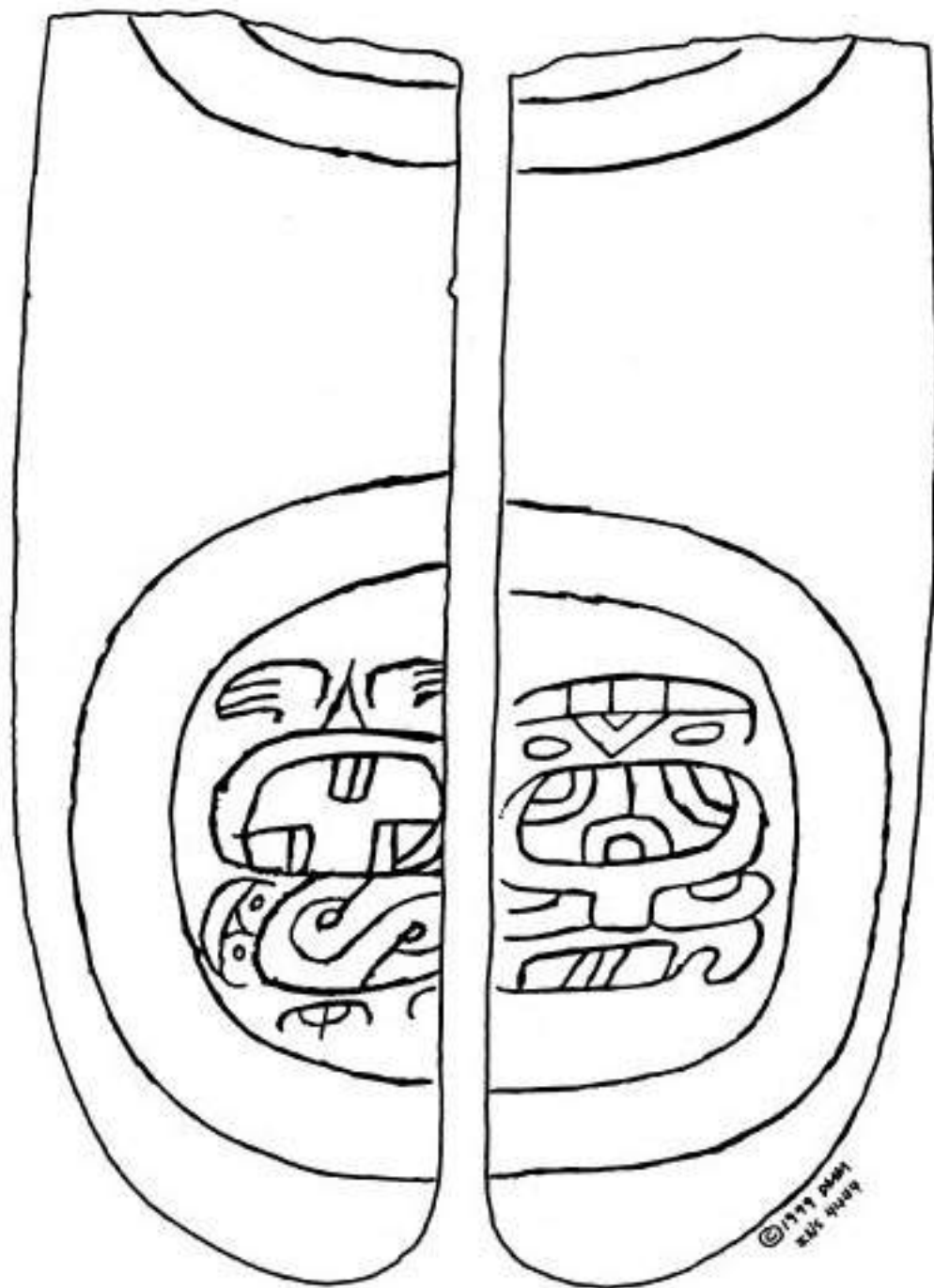


Figura 13. Placa de jade no. 4444 (INS 4444) del Museo del Jade.

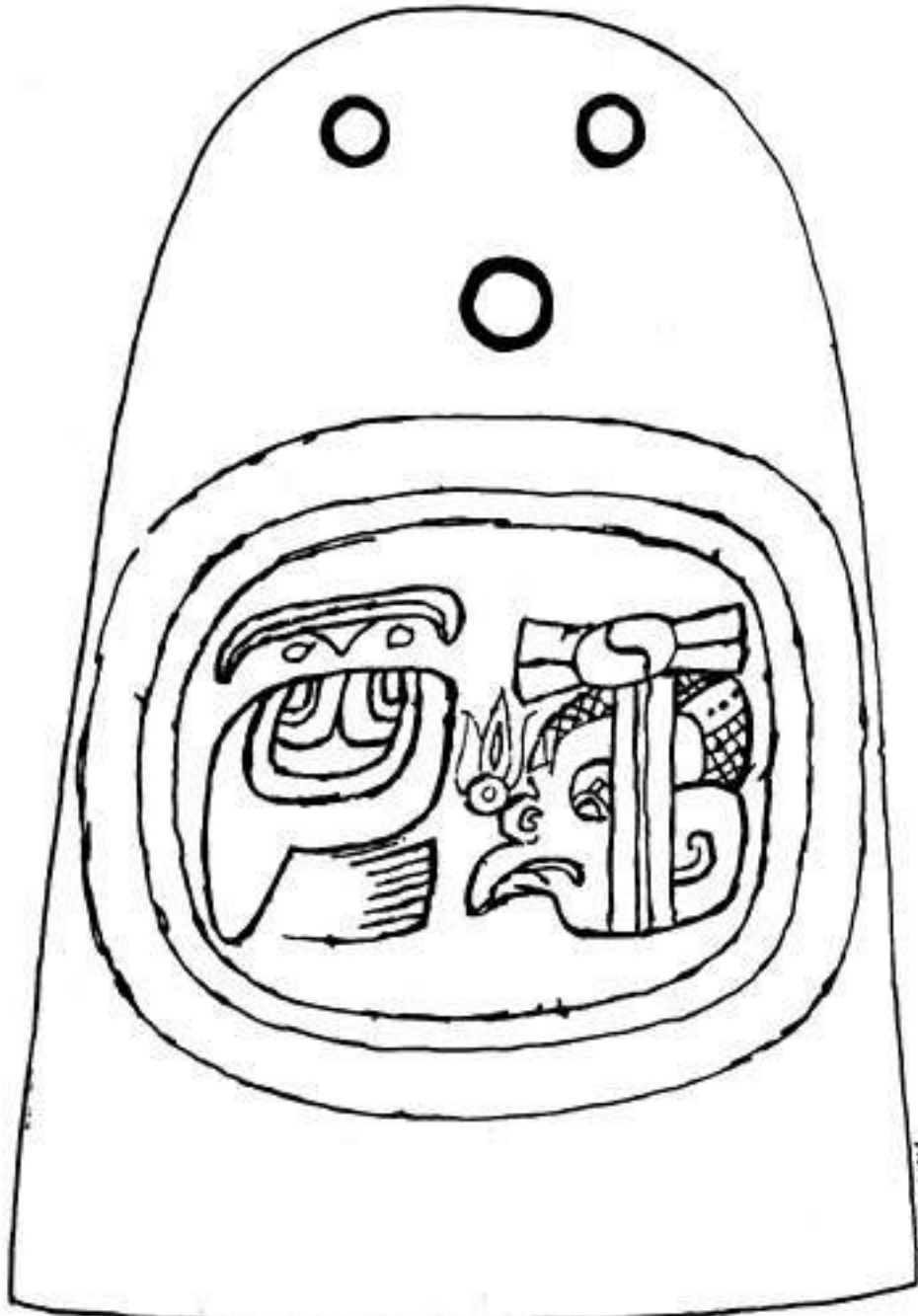


Figura 14. Placa de jade no. 4443 (INS 4443) del Museo del Jade.



Figura 15. Placa de jade no. 4442 (INS 4442) del Museo del Jade.



Figura 16. Placa de jade no. 4441 (INS 4441) del Museo del Jade.



Figura 17. Placa de jade no. 4440 (INS 4440) del Museo del Jade.



Figura 18. Placa de jade no. 2007 (INS 2007) del Museo del Jade.



Figura 19. Placa de jade no. 2006 (INS 2006) del Museo del Jade.



Figura 20. Disco de pizarra no. 6528 (INS 6528) del Museo del Jade.



Figura 21. Placa de jade no. 4563 (INS 4563) del Museo del Jade.



Figura 22. Disco de pizarra de La Fortuna (Disco LF).



Figura 23. Figurilla de jaguar del Museo Peabody de Yale (Jaguar MPY).



Figura 24. Cuenta tubular de jade del cenote (CNT 6125).



Figura 25. Cuenta tubular de jade del cenote (CNT 22001).



Figura 26. Panel inferior de glifos de la Estela Hauberg (Estela HBG).

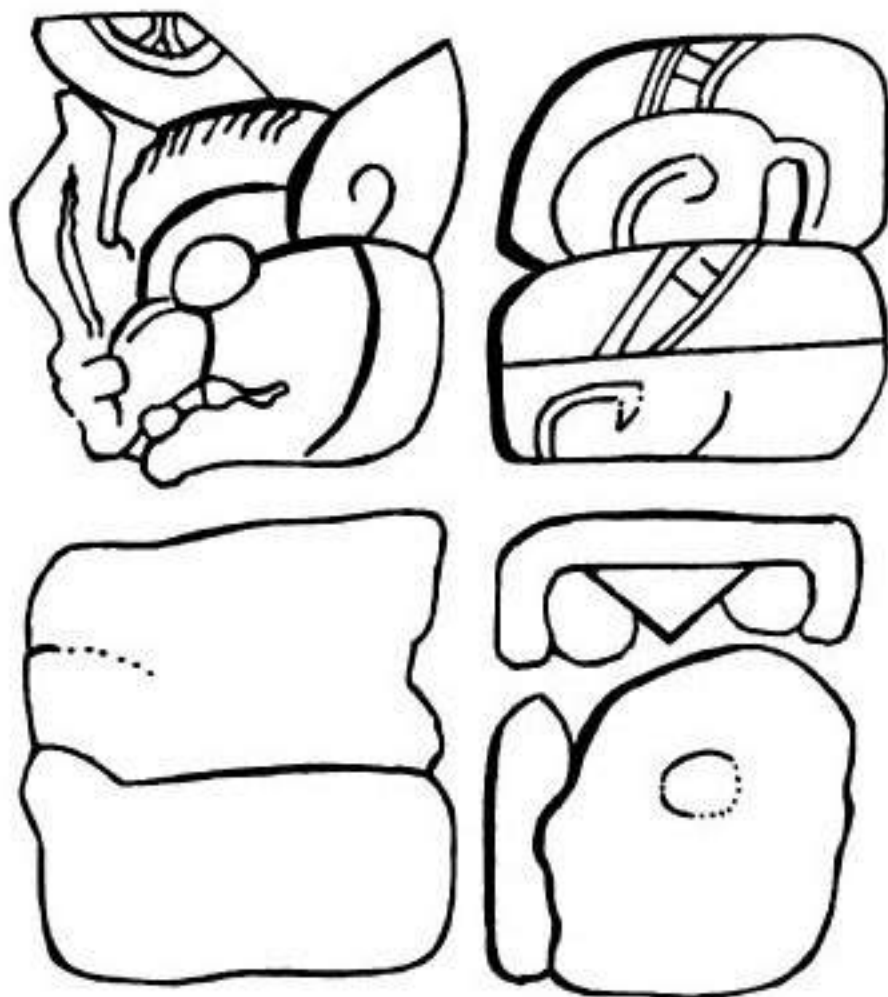


Figura 27. Panel inferior de glifos de la Estela Hauberg (Estela HBG).

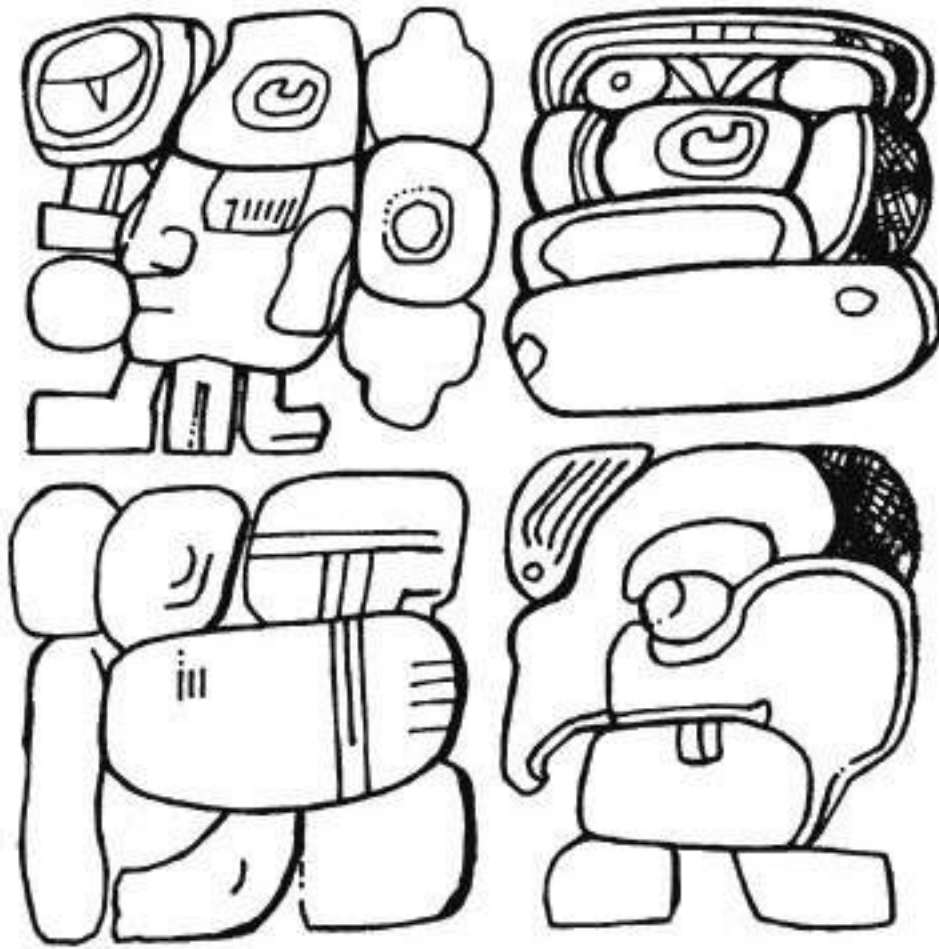


Figura 28. Panel inferior de glifos de la Estela Hauberg (Estela HBG).

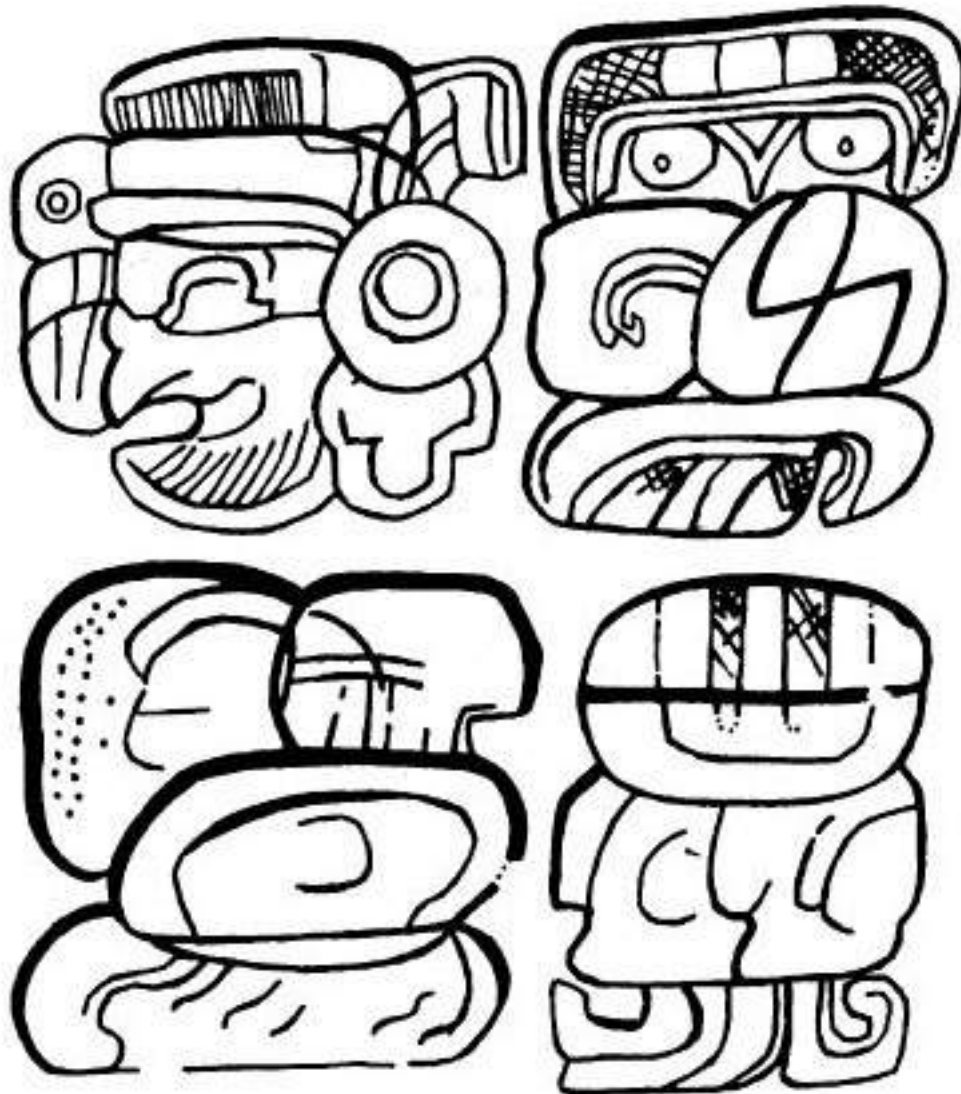


Figura 29. Panel inferior de glifos de la Estela Hauberg (Estela HBG).



Figura 30. Panel inferior de glifos de la Estela 10 de Kaminaljuyú (Estela 10 KJ).



Figura 31. Hacha de jade de Hatzcap Ceel (Hacha HTZ).

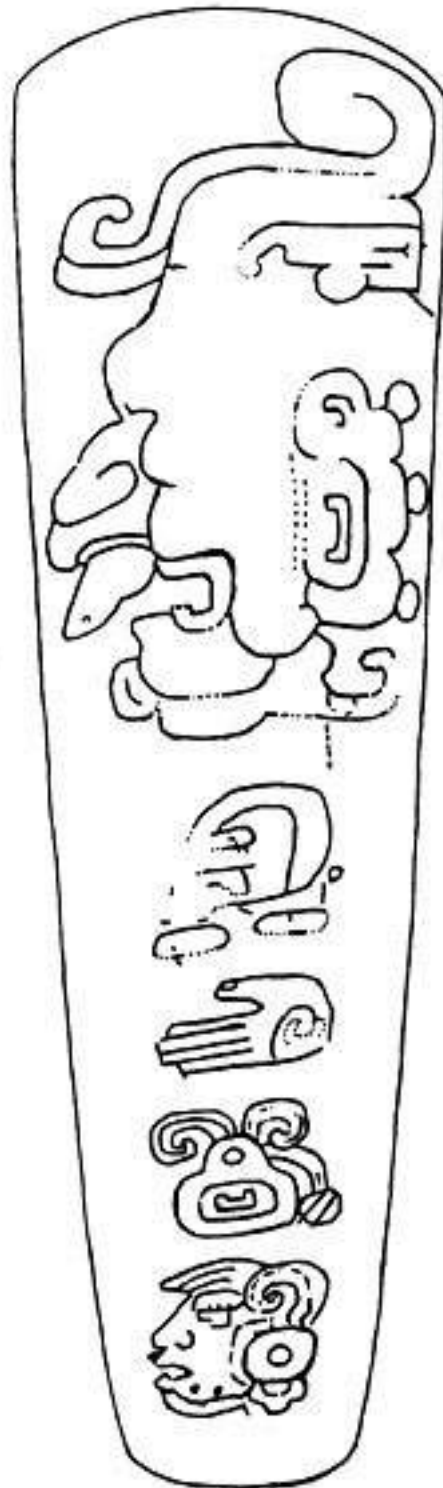


Figura 32. Hacha de jade de Kendal (Hacha KND).



Figura 33. Concha de almeja sin procedencia (Concha SPR, K763).

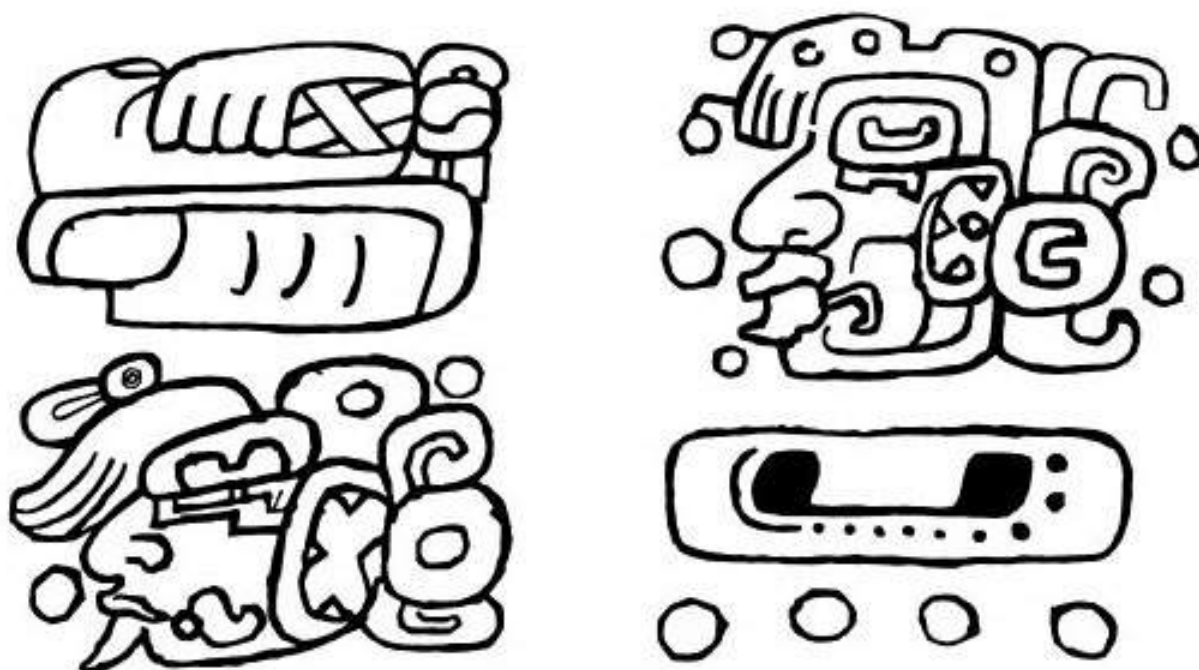


Figura 34a. La orejera de jade de Pomona (Orejera PMA).

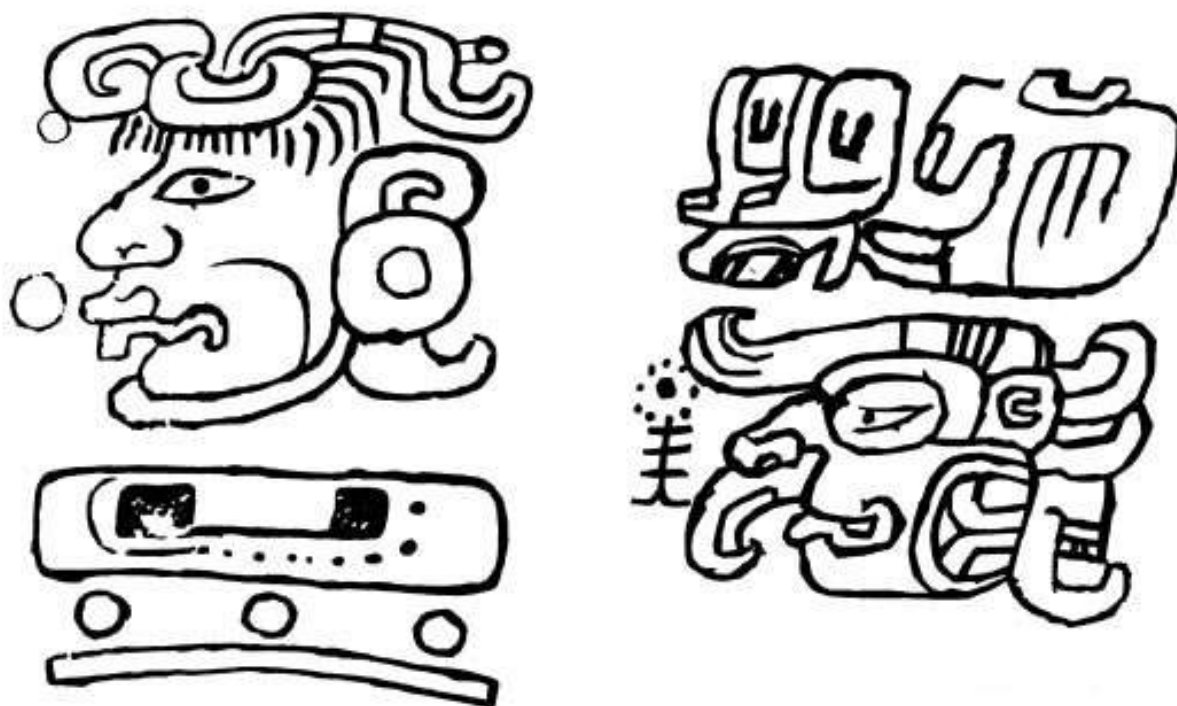


Figura 34b. La orejera de jade de Pomona (Orejera PMA).

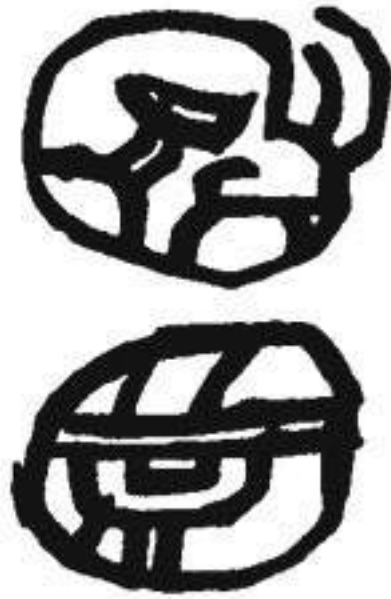


Figura 35. El pectoral del Museo Británico (Pectoral MB).

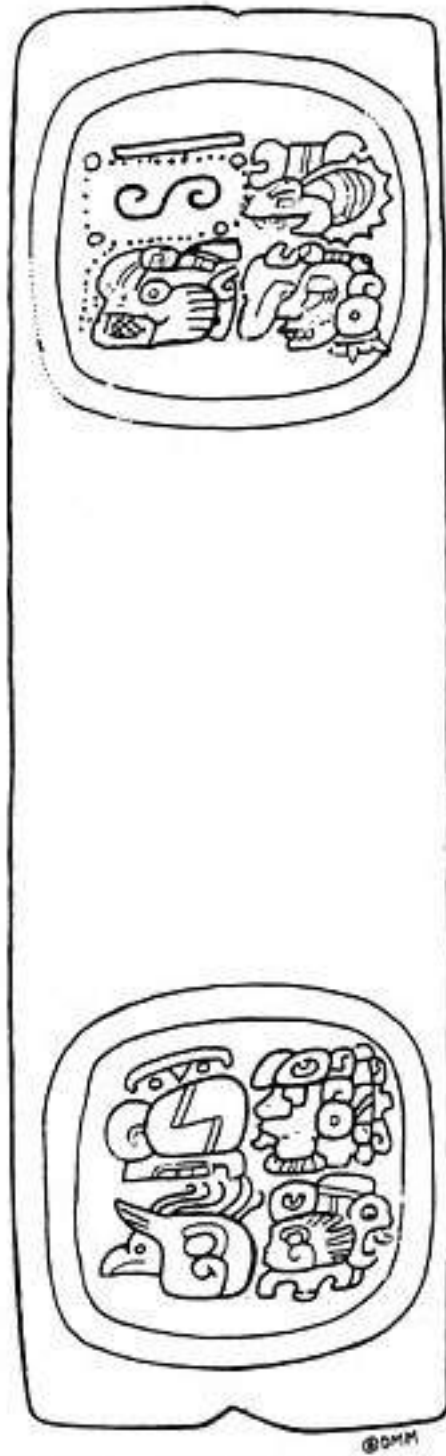


Figura 36. La placa de jade del Museo de Cleveland (Placa MC).



Figura 37. Una placa de jade según se informa de Nosara, Nicoya, Costa Rica, publicada en Stone (1968:figura 9).



Figura 38. Una placa de jade sin procedencia según se informa de Costa Rica, publicada en Stone (1977:68, figura 78c).

Comparación de dibujos

Se han publicado varios dibujos del texto del pectoral DO ([Figura 10](#)), a saber: Coe (1966: figura 11), Schele y Miller (1986:120), y Mora Marín (1997: figura 3). El dibujo final que aquí se presenta difiere de los tres mencionados de la siguiente manera. Las diferencias más importantes entre el dibujo de Coe (1966) ([Figura 39](#)) y la [Figura 10](#) se observan en C2, D2 y C6a; entre el dibujo de Schele y Miller (1986) ([Figura 40](#)) y la [Figura 10](#), se observan en A2b, D1, C2, D2, D3, y C6a; y para terminar, entre el dibujo de Mora-Marín (1997) ([Figura 41](#)) y la [Figura 10](#), se observan en A2b, C2, D3 y C6a. De éstas, las que corresponden a A2b, D1 y C6 son las más importantes a los fines de la epigrafía.

Vale la pena mencionar que el pigmento original de cinabrio del pectoral DO ha sido reemplazado por un equivalente no tóxico. Durante el proceso de conservación, el cinabrio fue retirado, y el nuevo pigmento fue aplicado usando como guías primeros planos de transparencias a color tomadas antes del curado. Después de la conservación, algunas de las incisiones intencionales no volvieron a rellenarse, y por lo tanto ya no se encuentran visibles en condiciones normales de iluminación a menos que se use una lupa o iluminación adicional. También, algunas de las marcas de raspaduras sobre la superficie del pectoral fueron rellenadas por error². Mi dibujo únicamente toma en cuenta las incisiones intencionales, la mayoría de las cuales son visibles en la fotografía en Coe (1966: figura 2), y en las transparencias a color tomadas antes de la conservación que se encuentran archivadas en Dumbarton Oaks; por lo tanto, debe comparárselo con dichas fuentes.

² Esto se me hizo evidente cuando examiné los primeros planos de las transparencias antes de la conservación.

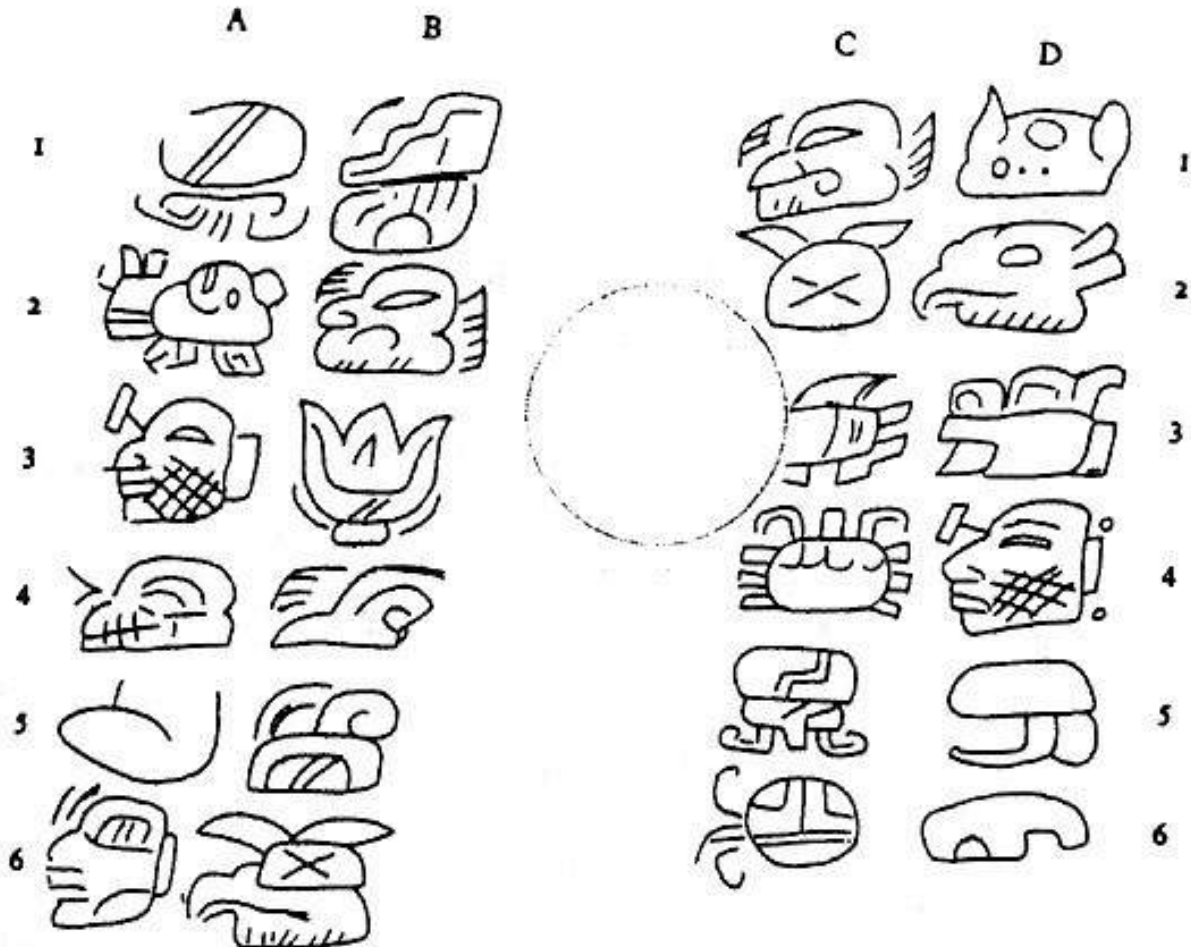


Figura 39. Texto del Pectoral DO, Coe (1966: figura 11).

Se han publicado dos dibujos diferentes de la cuchara del Museo del Jade: un dibujo de Dorie Reents-Budet ([Figura 42](#)) parcialmente publicado en Anderson (1993:113), y mi dibujo anterior ([Figura 43](#)), publicado en Mora-Marín (1997: figura 5). La [Figura 12](#), mi dibujo más reciente, representa una mejora sobre los dos previos³. Muestra algunos signos y detalles de signos que faltan de los glifos A2, A3, A7 y A8 en el dibujo de Reents-Budet. Las principales diferencias con respecto a mi dibujo anterior está en los resultados de A1a y A3d. El glifo en A1a está parcialmente borrado, de modo que la reconstrucción de A1 es incierta⁴.

³ Está basado en el calco de un escaner de más alta resolución que el que se usó para el dibujo previo, y como resultado, representa más fielmente las incisiones. En realidad, lo que en el primer dibujo parecían ser ángulos hábilmente redondeados, aparecen ahora como grabados más tentativos y de apariencia más angular.

⁴ La superficie donde A1 está incisa ha sufrido muchos raspaduras.

Coe (1973:25) publicó una fotografía y un dibujo a pluma del texto del jaguar del Museo Peabody en Yale (Figura 44)⁵. La fotografía no muestra con suficiente claridad las cuatro hileras inferiores de los glifos. Luego de haber inspeccionado el artefacto, me di cuenta de que habían experimentado más deterioro que las cuatro hileras superiores, algo que el dibujo de Coe pone de relieve con líneas punteadas. El dibujo que yo he preparado (Figura 23) difiere del de Coe en varios detalles, algunos de los cuales son de clara importancia epigráfica⁶: los detalles adicionales y el aparente sufijo en el glifo B7; y un aparente sufijo en el glifo A8.



Figura 40. Texto del Pectoral DO, Schele y Miller (1986:120).

⁵ El texto ya fue discutido en Coe (1973; 1976), Ayala (1983), Fahsen (1987; 1988; 1999), Hansen (1991), Anderson (1993), Mora-Marín (1996; 1997) y Coe y Kerr (1998). Más abajo menciono brevemente algunas de sus contribuciones.

⁶ Algunos de estos detalles sólo revisten importancia para el estudio de la historia del arte y la paleografía: la entrega del penacho en el glifo A1; los trazos dobles de los glifos A4, B4, B5 y B8; el elemento interno de signo superior del glifo B3; los elementos internos del glifo B5; el cartucho y los elementos internos del glifo A7; y unos pocos detalles del glifo B8.

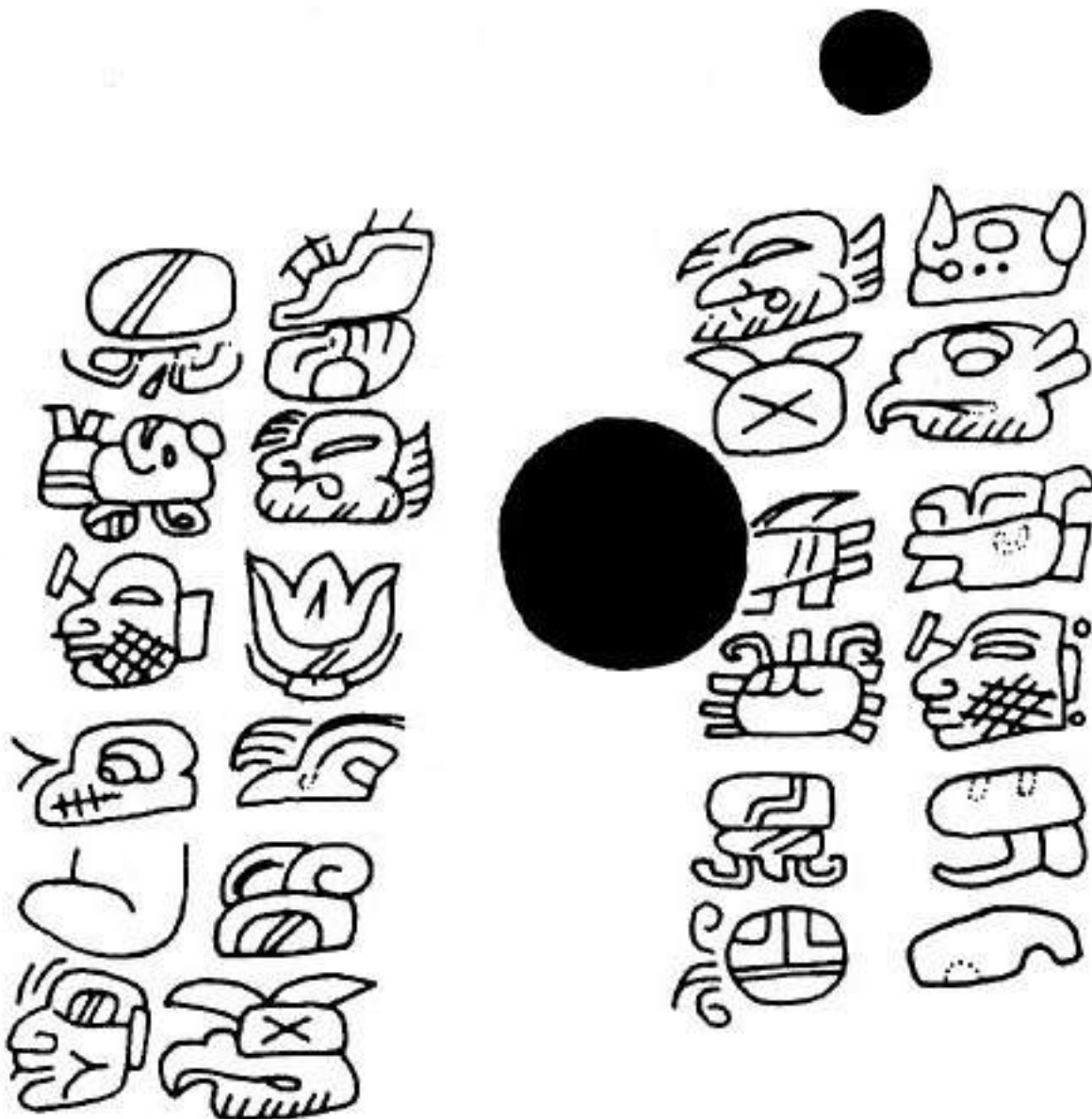


Figura 41. Texto del Pectoral DO, Mora-Marín (1997:figura 3).

Las dimensiones, procedencia y ubicación actual de la concha de almeja SPR (K763) me son desconocidas⁷. El único dibujo previo de los textos es de John Montgomery ([Figura 45](#)), y está publicado parcialmente en Anderson (1993:112-113)⁸; en general

⁷ Le estoy muy agradecido a Donald Hales por haberme hecho saber que este artefacto corresponde al Archivo no. 763 de los archivos Justin Kerr, y también a Justin Kerr, quien me entregó copias a color de sus fotografías, que usé para dibujar el texto.

⁸ Le doy las gracias a Lloyd Anderson por facilitarme una copia del dibujo de John Montgomery.

es bastante preciso, pero le faltan algunos pequeños detalles, dos de los cuales son sin duda de importancia epigráfica y que yo he completado en mi dibujo (Figura 33)⁹. Uno es un detalle en forma de ventanas nasales en el signo de A6a. Esto muestra que el signo en A6a representa una nariz. Además, el signo en A6b consta de dos elementos alargados, que creo pueden ser dedos, uno de los cuales podría mostrar una uña, pero este punto no está claro.

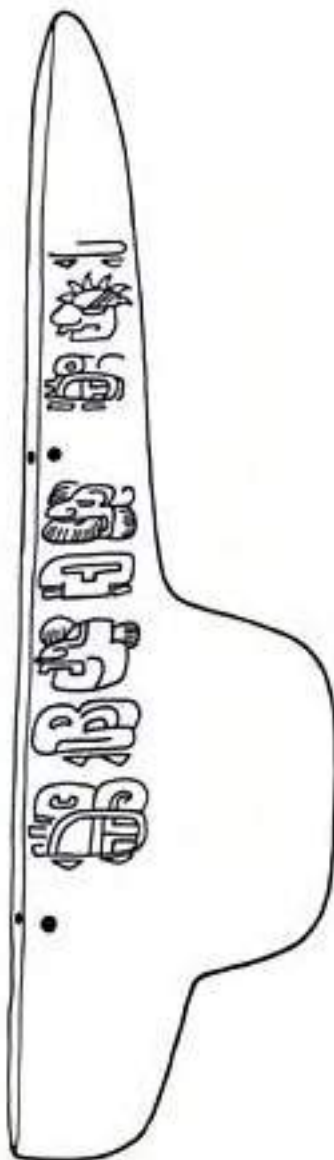


Figura 42. Cuchara MJ, Dorie Reents-Budet, parcialmente publicada en Anderson (1993:113).

⁹ Las cañas/cabellos que salen de la orejera en el glifo A5 y que no aparecen en el dibujo de Montgomery no revisten demasiada importancia para el desciframiento epigráfico, pero resultan interesantes, puesto que hacen que este elemento orejera sea idéntico al del glifo A1.

Intento discutir el resto de los dibujos que presento aquí por primera vez un poco más adelante. La beca que recibí de FAMSI me permitió completar los siguientes dibujos: la cuchara del Museo del Jade, las placas de jade INS 4442, INS 2007, INS 6528, el jaguar del Museo Peabody de Yale, la cuentas de jade CNT 6125, y CNT 22001, la Estela Hauberg, la Estela 10 de Kaminaljuyú, y la concha de almeja SPR¹⁰.

¹⁰ Estoy en deuda con John Hauberg por haberme permitido estudiar la Estela Hauberg, y con Matthew H. Robb por haberme facilitado los recursos del Museo de Arte de Princeton, donde la Estela Hauberg estuvo en exhibición hace un tiempo, este mismo año. Mi dibujo de la Estela 10 de Kaminaljuyú lo debo en gran parte a la ayuda, apoyo y recursos de Federico Fahsen, Nancy Monterrosa, Carolina Sisniega, la ex Directora del Museo Nacional de Guatemala, Licenciada Dora Guerra de González, Juan Antonio Valdés, John Justeson, Ian Graham y James Porter. Mi gratitud para Gloria Polizzotti Greis y David S. Stuart del Museo Peabody, y para Susan Matheson de la Galería de Arte de Yale por su ayuda. También le estoy agradecido a Zulay Soto, del Museo del Jade Fidel Tristán, y a Marlin Calvo del Museo Nacional de Costa Rica, por la colaboración brindada.



Figura 43. Cuchara MJ, Mora-Marín (1997:figura 5).

Historia del arte y paleografía

El dibujo preciso de los textos del Preclásico Tardío pueden ayudar no sólo al desciframiento sino también al desarrollo y refinamiento de la cronología paleográfica de las escrituras mayas. Un marco de este tipo puede representar un gran aporte para los fechamientos relativos de los textos de procedencia desconocida, y para rastrear cambios históricos significativos y reviste, por lo tanto, gran importancia. La

investigación que he llevado adelante con la ayuda de FAMSI, debería resultar de suma utilidad para lograr este objetivo.

El desarrollo temprano de formas gráficas y reglas ortográficas en la escritura maya ya han sido discutidos en Justeson y Mathews (1990), Grube (1990; 1994) y Lacadena (1966). En mi tesis discuto algunos casos claves, de relevancia para el estudio de los cuatro textos mencionados más arriba. Algunos de los desarrollos gráficos y ortográficos que han discutido los autores antes mencionados, pueden ser de más utilidad que otros. Lo que sigue son sólo unos pocos ejemplos.

El elemento en forma de U puede ser un buen punto de partida, dada su presencia en un gran número de signos diferentes, y también, sus mutaciones reconocibles a lo largo del tiempo. Este uso tan difundido de los signos mayas, según lo que ha descrito Lacadena (1996), llevó a una serie de modificaciones de cambios gráficos en cuanto a los signos con el elemento en forma de U durante la transición del Clásico Temprano al Tardío. El cambio en cuestión implicó la sustitución del elemento original en forma de U dentro de un cartucho por un elemento circular, y posteriormente, el agregado de dos pequeños círculos en la parte de afuera del cartucho. Los textos mayas más tempranos pueden proporcionar datos adicionales referidos al desarrollo histórico de estos elementos.



Figura 44. Texto del jaguar MPY, Coe (1973:25).

Por ejemplo, el texto del hacha de Dumbarton Oaks, con su fechamiento propuesto para el 120 d.C. (Schele y Miller, 1986:83), tiene dos ejemplos del elemento U dentro de un signo de mano y dentro de su probable predecesor T168 (cf. B4 y A7). Algunos otros textos tempranos sin fechamiento y sin datos de procedencia también presentan este elemento: el pectoral del Museo de Arte de Brooklyn, la cuenta 6125 del Cenote de Chichén Itzá, la cuchara del Museo del Jade, el jaguar del Museo Peabody de Yale, la concha de almeja sin datos de procedencia, la orejera de Pomona entre otras. El pectoral del Museo de Arte de Brooklyn (A2a) y la cuenta del Cenote de Chichén Itzá 6125 (A2, A4c), ambos presentan el uso del elemento U. La cuchara del Museo del

Jade tiene dos ejemplos del elemento U, pero ambos se encuentran en el mismo signo (A3a, A8a); ningún otro signo en este texto es un signo donde el elemento U tenga probabilidades de aparecer en textos más tardíos. La concha de almeja de jadeíta sin procedencia tiene una instancia del elemento U en el mismo signo de su aparición en la cuchara del Museo del Jade (cf. A7a). El pectoral de Dumbarton Oaks tiene una aparición iconográfica del elemento U, pero ninguna glífica.

La orejera protoclásica de Pomona muestra cuatro apariciones glíficas (y no icónicas) del elemento U: dos en el glifo DIOS.SOL (A2/B1), una en T840 (D1a), y una en T710 (D1c). Curiosamente, el panel de glifos inferior de KJ 10 puede contener un caso del elemento U en F3, en el mismo glifo que D1c de la orejera de PMA. Si uno toma en cuenta la iconografía de los glifos en la orejera PMA, se puede ver la relación de variación libre entre el elemento U y el elemento O de adentro de la orejera (T62) usada por las dos instancias del glifo de DIOS.SOL; esta variación puede haber empezado en la iconografía y posteriormente puede haberse infiltrado en el dominio de los glifos, aunque sólo posteriores estudios podrán determinarlo.

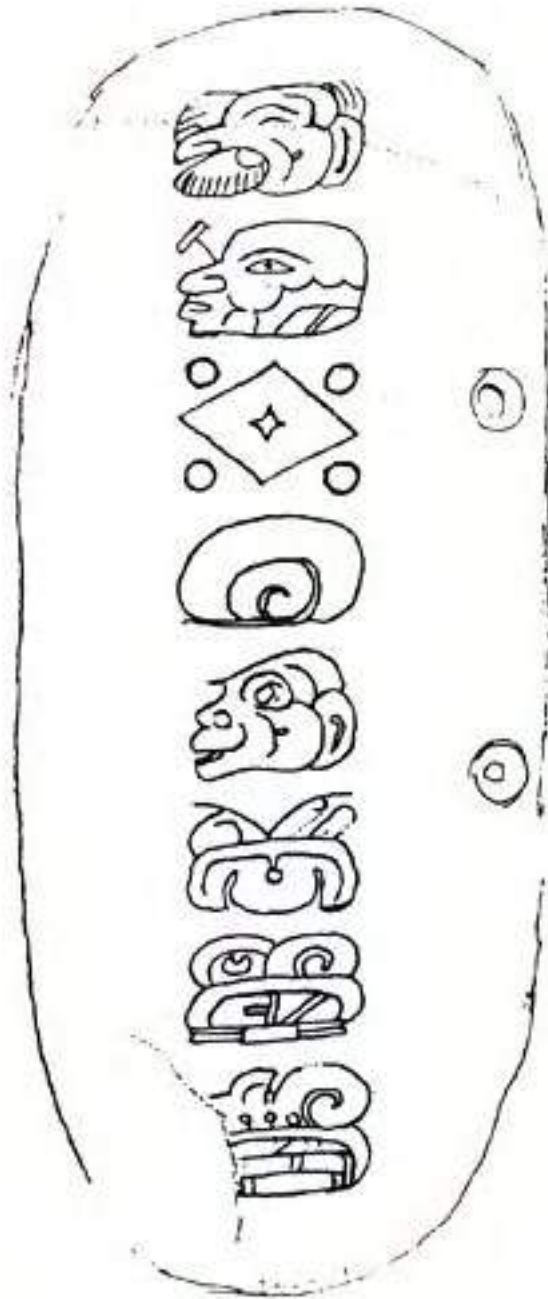


Figura 45. UNP Concha de almeja SPR, John Montgomery, parcialmente publicada en Anderson (1993:112-113).

Para terminar, el jaguar de MPY contiene otro claro ejemplo en A2. Más aún, el texto del jaguar de MPY puede constituir un eslabón perdido en la historia del uso glífico del elemento U. Exhibe tanto el elemento U típico de los signos mayas como el elemento voluta doble más común en los signos epíolmecas (aunque presentes también en algunos signos mayas, como por ejemplo en el signo de MANO.PLANA que apunta

hacia arriba, cf. Estela 31 de Tikal). Lo que es más importante, creo que los ejemplos del jaguar de MPY muestran que el elemento de voluta doble no es más que una forma del elemento U: el elemento de voluta doble es idéntico al elemento U si éste último está ubicado sobre el contorno del glifo, más que centrado dentro de un cartucho. Por este motivo, este texto podría ser importante para el estudio de la relación entre las escrituras epígraficas y mayas. Sugiere un tiempo y lugar, cuando y donde ambas formas estaban en variación libre en la escritura maya, antes que se impusiera el elemento U.

Resulta interesante, como ya destacué con anterioridad, que el pectoral de DO no contiene ejemplos del elemento en forma de U, ni siquiera en signos en los que el elemento está habitualmente presente en textos más tardíos (cf. A5 y B5). Este hecho puede constituir evidencia de un fechamiento muy temprano del texto del pectoral de DO, como lo propuso Coe (1966; 1976) y Coe y Kerr (1998), y que yo creo que se sostiene por una serie de comparaciones glíficas e iconográficas con las Estelas 10 y 11 de Kaminaljuyú, que pueden estar fechadas para ca. 300-200 a.C.¹¹. Por ejemplo, el elemento de cabeza rectangular posterior de los glifos en A3/D4 en el pectoral de DO se parece al encontrado en los glifos en F6, G1, y G8 en KJ 10. El glifo en A6 en el hacha HTZ y B1 en la orejera de PMA pueden compararse en particular con D4 en el pectoral de DO, que contiene no sólo un elemento rectangular posterior son también los dos círculos presentes en el pectoral de DO¹². Otro par de elementos que están en estrecha relación incluyen los elementos de la parte inferior del torso y de los muslos del personaje sedente del pectoral de DO y el glifo en E5 de KJ 10, por un lado, y el Dios de la Gesta con forma de árbol que corona al personaje sedente en el pectoral de DO y el personaje de pie de la Estela 10 de Kaminaljuyú, por el otro (cf. Coe, 1966; Fields, 1989; Taube, 1998).

Otros atributos de signos pueden ser importantes para el propósito del fechamiento relativo de los textos. El elemento U, presente en textos mayas desde el Preclásico Tardío hasta el Clásico Temprano, no es un indicador temporal demasiado exacto. En el caso del pectoral del MAB y de la CNT 6125, el signo T757 ARDILLA y el signo T1 **7u**, que resultaron lo mismo en ambos textos (cf. A1b y A3b, y A1a y A3a/A4a, respectivamente), pueden posibilitar un fechamiento relativo más acotado de estos dos textos; comparten rasgos caligráficos que no están presentes en otros textos mayas. La única excepción con respecto a éste último comentario es el pectoral de DO; su instancia de T1 **7u** en C6a concuerda en su forma con los del pectoral MAB y CNT 6125.

¹¹ Sin embargo, la elaboración completa de esta línea de investigación requiere un papel propio y no puede ser brindada aquí. La Estela 10 de Kaminaljuyú fue asociada a tiestos de la fase Verbena (400-200 a.C.). La Estela 11 de Kaminaljuyú fue asociada tanto a tiestos de la fase Verbena como de la fase Arenal (200 a.C.-100 d.C.), sugiriendo tal vez una fecha transicional entre estas fases para su depositación, y por lo tanto ca. 300-200 a.C. Creo que el texto del pectoral DO es aproximadamente de esta época. Federico Fahsen (comunicación personal, 2000) está a favor de un fechamiento, para KJ 10, de ca. 200-100 a.C.

¹² El elemento posterior presente en estas cabezas glíficas podría muy bien ser un indicador temporal y/o geográfico de gran utilidad, dependiendo de lo que surja de estudios futuros. Que la aparente sustitución entre el elemento rectangular posterior y el ícono de la orejera sea de importancias, es algo que se verá una vez concluidos otros estudios adicionales.



Figura 46. Discusión epigráfica.

Discusión epigráfica preliminar

Cuatro de los textos jeroglíficos publicados aquí son particularmente útiles para los epígrafos: el pectoral DO, la cuchara MJ, el jaguar MPY, y la concha SPR. Fueron discutidos y estudiados por Coe (1966; 1973; 1976), Ayala (1983), Schele y Miller (1986), Fields (1980), Freidel y Schele (1989), Reents-Budet y Fields (1990), Anderson (1993), Mora-Marín (1997), y Coe y Kerr (1998) entre otros autores. Coe (1973; 1976) fue quien primero notó las notables similitudes estilísticas y ortográficas entre el pectoral DO y el jaguar MPY, mientras que Reents-Budet y Fields (1990), Anderson (1993), y Mora-Marín (1997) pusieron de manifiesto las similitudes cercanas entre éstos dos y la cuchara MJ y la concha SPR. Debido a estas similitudes, su excelente preservación, por lo general, y el hecho que todos se inscriben en la categoría de objetos portátiles, creo que estos cuatro textos constituyen un conjunto de datos con más controles (estructurales y semánticos) para que los epigrafistas aprovechen, que ningún otro grupo de textos del Preclásico Tardío. En lugar de emprender una revisión minuciosa del nivel de erudición sobre estos textos, aquí sólo señalo unos pocos

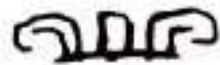
resultados preliminares de mi análisis epigráfico y lingüístico de los mismos. En mi tesis defiendo extensamente este análisis, al igual que en un artículo que pronto será terminado y presentado.

En Mora-Marín (1997), puse a prueba la hipótesis de Freidel y Schele (1989) de que el texto inscrito en el reverso del pectoral DO contenía dos glifos habitualmente presentes en la fórmula de dedicación o Secuencia Estándar Primaria de los textos mayas clásicos en objetos móviles (Coe, 1973; Grube, 1991; Houston, Stuart y Taube, 1989; McLeod, 1990; Stuart, 1989). Seleccioné dos textos relacionados estilística, caligráfica y ortográficamente, como en un principio identificó Coe (1976), y agregué los dos ejemplos con los mismos atributos que discutieron por primera vez Reents-Budet y Fields (1990) y Anderson (1993). Tres de los textos están inscritos en pendientes de jadeíta, y uno on una figurilla basáltica de jaguar. Todos tienen textos legibles. El más importante de ellos es uno en el pectoral DO: tiene el texto más largo de los cuatro, y por lo tanto ofrece el mejor caso para un análisis gramatical más detallado.

Anderson (1993) llevó adelante una comparación estructural de los cuatro textos centrándose en lo que yo identifiqué como una versión barbada del Preclásico Tardío del verbo glífico de dedicatoria del DIOS.N; Anderson ya había sugerido que este glifo podría ser un verbo. En Mora-Marín (1997) realicé un análisis estructural ([Figura 46](#)) de los textos, y encontré evidencia que apoyaba lo propuesto por Freidel y Schele (1989) y Anderson (1993). Identifiqué dos glifos adicionales que tienen posibles correlatos en la fórmula de dedicación del Período Clásico ([Figura 47](#)), siendo una de éstas el glifo del barbado DIOS.N, y la otra T124 **TSIK** 're(contar), honrar' (también **tsi**), y evidencias de los nombres glíficos de los mismos artefactos y/o de las partes de los artefactos ([Figura 48](#)).



bearded GOD.N glyph



T124 TSIK 'to (re)count, honor'
(also tsi)

Figura 47. Discusión epigráfica.



T503 7IK' (-NAL): a label for '(jade) ornaments' (?)



face with T-element projecting from forehead:
a label for 'flat/smooth surface' (?)
or 'pectoral' (?)¹



SPROUT-PERSON: a label for the were-jaguar
figurine with a sprout on its head (?)



SPOTTED.BAT.HEAD: a label for a part of the DO pectoral (e.g. its
text or polishing?)

¹ Possibly pa-FACE/FOREHEAD in the DO pectoral, as a phonetic complement for proto-Cholan **pa* 'forehead', but also perhaps *pa:hm* 'flat.thing' (cf. Tzeltal).

Figura 48. Discusión epigráfica.

Desde entonces, he refinado mi análisis de la estructura morfológica y sintáctica de los mismos pasajes de estos textos (Figura 49). Creo que en cuatro de las cinco instancias del glifo de verbo del barbado DIOS.N en estos cuatro textos, son ejemplos de verbos antipasivos: DIOS.N-ni por VERBO-n-Ø-i (verbo-AP.3sABS.MCP.ST)¹³. La oración

¹³ AP = antipasivo, (M)P = (medio)pasivo, 3sABS = sufijo absolutivo de la tercera persona del singular, MCP = marcador de estatus completivo.

sería de una clase similar a las oraciones en inglés 'Casey cuidó bebé' (bebé es el objeto (subyacente) del verbo)¹⁴. Las oraciones antipasivas del tipo propuesto aquí (absolutivas/incorporativas antipasivas) llevan un sufijo representado con el signo **wV** en el Período Clásico, no un signo **nV** (Lacadena, 1998; Mora-Marín, 1998). Si el texto DO está escrito en (pre/proto-) cholán, tal y como fuertemente parece, esta evidencia podría apoyar la propuesta de Kaufman (1989) de que el antipasivo absolutivo/incorporativo protomaya era *(a-)o-n, y no *(a-)o-w, y sugiere que el sufijo -(V)w para antipasivos incorporativos en el Período Clásico era una innovación o préstamo. Si el texto está en yucateco, entonces concuerda con el yucateco -n sufijo del 'antipasivo absolutivo/incorporativo (incompletivo)'.

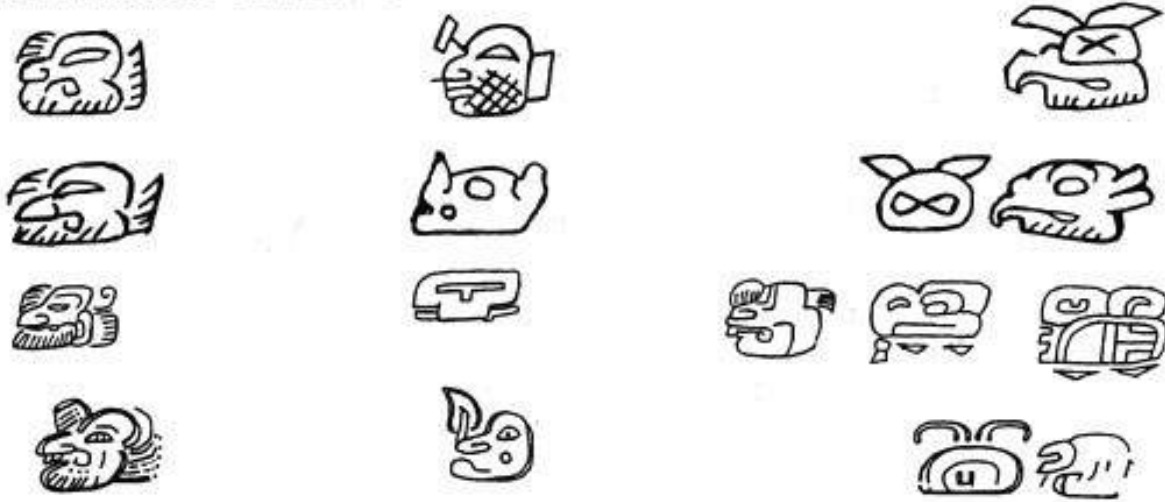
Así, que el texto del pectoral DO esté en cholán o en yucateco depende de si la forma temprana del sufijo absolutivo/incorporativo antipasivo era una forma *(V)n o *(V)w. Yo apoyo la reconstrucción de Kaufman (1989), (*(a-)o-n), que desafortunadamente deja la pregunta sin responder (esto es, el texto podría mostrar también una forma del cholán que hubiera mantenido el ancestral sufijo *(V)n, o yucateco). Hasta ahora no he identificado ninguna evidencia en estos textos tempranos que me permita una distinción más acotada¹⁵.

La quinta instancia del verbo del barbado DIOS.N parecería ser un verbo (medio)pasivo: DIOS.N por el VERBO[h]-Ø-Ø (verbo[(M)P]-3sABS-MCP.ST). Esta oración sería del tipo de 'el coche fue robado'. El hecho de que no haya ningún sufijo abiertamente escrito en el verbo sugiere un indicador infijo -h- '(medio)pasivo'; Kaufman (1989) reconstruye este sufijo como un 'mediopasivizador' del protomaya, pero hace notar que en cholán pasó con el tiempo a transformarse en un 'pasivizador'. No es posible, en base a este ejemplo, discriminar entre los dos.

¹⁴ Este verbo cuidar bebé es más el caso de una combinación lexicalizada en inglés, pero es la analogía más próxima a los ejemplos de antipasivos con incorporación de objetos en maya.

¹⁵ Más arriba señalé que la ortografía **7u-ya-** para **7uy-** en el texto del pectoral DO apunta a una afiliación de las tierras bajas mayas (cholán/yucateco).

ANTIPASSIVE SENTENCES



VERB-ni =INCORPORATED.PATIENT (AGENT.)SUBJECT
 VERB-n-i-Ø =PATIENT SUBJECT
 VERB-APASS-CMP-3sABS₁ =PATIENT SUBJECT₁
 '[Subject] [Patient]-[Verbed]'
 (e.g. 'Mary student-taught')

(MEDIO)PASSIVE SENTENCE



VERB (PATIENT.)SUBJECT
 VERB[h]-Ø-Ø SUBJECT
 VERB[PASS]-CMP-3sABS₁ SUBJECT₁
 'The [Subject] was/got [Verbed]'
 (e.g. 'The car got stolen')

Figura 49. Discusión epigráfica.

Para finalizar, asumiendo que el glifo del barbado DIOS.N sea aqué realmente un verbo de dedicación, los objetos incorporados que le siguen en las cuatro oraciones antipasivas, y el sujeto que sigue en la oración pasiva, se refieren al artefacto inscrito, o

a partes de los mismos artefactos inscritos ([Figura 48](#))¹⁶. Estos hallazgos, de ser correctos, sugieren un papel fundamental del género de la dedicatoria en una fecha temprana. A su vez, esto apoya el papel importante que representó el intercambio de obsequios en la política económica de la sociedad maya del Preclásico Tardío (Stuart, 1995) y en la difusión de la escritura maya del Preclásico Tardío (Mora-Marín, 1997).

Conclusiones

Gracias a FAMSI y a las otras instituciones que financiaron este trabajo, tuve la oportunidad de completar (salvo una excepción parcial, la concha de almeja SPR) los objetivos inmediatos de mi Proyecto LAPIDA: la documentación primaria de los textos del Preclásico Tardío que constituyen el foco de los análisis epigráficos y lingüísticos de mi tesis. Como objetivo a corto plazo, he considerado expandir el proyecto para incluir más textos mayas del Preclásico Tardío y Clásico Temprano. Como objetivo a largo plazo, he considerado expandir el proyecto para documentar textos tempranos de toda Mesoamérica, y así contribuir al estudio del origen y difusión de las escrituras mesoamericanas y a su desciframiento, así como a la reconstrucción de la historia social, artística y lingüística de Mesoamérica.

APÉNDICE	
Máscara pectoral olmeca de jade del Museo Británico <i>British Museum Olmec jade pectoral mask</i>	Pectoral MB <i>BM pectoral</i>
Máscara olmeca de jade del Museo de Arte de Brooklyn <i>Brooklyn Museum of Art Olmec jade mask</i>	Máscara MAB <i>BMA mask</i>
Cuenta tubular de jade del Cenote de Chichén Itzá <i>Chichén Itzá Cenote tubular jade bead</i>	CNT 6125
Cuenta tubular de jade del Cenote de Chichén Itzá <i>Chichén Itzá Cenote tubular jade bead</i>	CNT 22001
Placa de jade del Museo de Cleveland <i>Cleveland Museum jade plaque</i>	Placa MC <i>CM plaque</i>
Cinzel de jadeíta de Dumbarton Oaks <i>Dumbarton Oaks jadeite celt</i>	Cinzel DO <i>DO celt</i>

¹⁶ Hay abundante evidencia iconográfica que sugieren que T503 funciona como una etiqueta para ornamentos de jade, y por lo tanto, que puede referirse a la cuchara de jade en sí misma en el texto de la cuchara MJ. El mejor caso para esta hipótesis es el signo T503 **7IKÖ(-NAL)**, a continuación del glifo del barbado DIOS.N-ni, en el texto de la cuchara MJ.

Pectoral de cuarcita de Dumbarton Oaks <i>Dumbarton Oaks quartzite pectoral</i>	Pectoral DO <i>DO pectoral</i>
Cuchara de jadeíta del Museo del Jade Fidel Tristán <i>Fidel Tristán Jade Museum jadeite spoon</i>	Cuchara MJ <i>JM spoon</i>
Placa de jadeíta del Museo del Jade Fidel Tristán <i>Fidel Tristán Jade Museum jadeite plaque</i>	INS 2006
Placa de jadeíta del Museo del Jade Fidel Tristán <i>Fidel Tristán Jade Museum jadeite plaque</i>	INS 2007
Placa de jadeíta del Museo del Jade Fidel Tristán <i>Fidel Tristán Jade Museum jadeite plaque</i>	INS 4440
Placa de jadeíta del Museo del Jade Fidel Tristán <i>Fidel Tristán Jade Museum jadeite plaque</i>	INS 4441
Placa de jadeíta del Museo del Jade Fidel Tristán <i>Fidel Tristán Jade Museum jadeite plaque</i>	INS 4442
Placa de jadeíta del Museo del Jade Fidel Tristán <i>Fidel Tristán Jade Museum jadeite plaque</i>	INS 4443
Placa de jadeíta del Museo del Jade Fidel Tristán <i>Fidel Tristán Jade Museum jadeite plaque</i>	INS 4444
Placa de jadeíta del Museo del Jade Fidel Tristán <i>Fidel Tristán Jade Museum jadeite plaque</i>	INS 4563
Disco de pizarra del Museo del Jade Fidel Tristán <i>Fidel Tristán Jade Museum slate disk</i>	INS 6528
Hacha de diorita de Hatzcap Ceel <i>Hatzcap Ceel diorite axe</i>	Hacha HTZ <i>HTZ axe</i>
Estela Hauberg <i>Hauberg Stela</i>	Estela HBG <i>HBG stela</i>
Estela 10 de Kaminaljuyú <i>Kaminaljuyú Stela 10</i>	Estela 10 KJ <i>KJ Stela 10</i>
Hacha de jadeíta de Kendal <i>Kendal jadeite axe</i>	Hacha KND <i>KND axe</i>
Disco de pizarra de La Fortuna <i>La Fortuna slate disk</i>	Disco LFA <i>LFA disk</i>
Jaguar de basalto del Museo Peabody de Yale <i>Peabody Museum at Yale basalt jaguar</i>	Jaguar MPY <i>PMY jaguar</i>

Orejera de jadeíta de Pomona <i>Pomona jadeite earflare</i>	Orejera PMA <i>PMA flare</i>
Concha de almeja de jadeíta sin procedencia <i>Unprovenanced jadeite clamshell</i>	Concha SPR <i>UNP clamshell</i>

Lista de Figuras

[Figura 1.](#) Máscara pectoral de jadeíta del Museo de Arte de Brooklyn, Covarrubias (1957:figura 94).

[Figura 2.](#) Máscara pectoral de jadeíta del Museo de Arte de Brooklyn, Schele y Miller (1986:150-151, Lámina 45).

[Figura 3.](#) Máscara pectoral de jadeíta del Museo de Arte de Brooklyn, Soustelle (1979:Láminas 60 y 61).

[Figura 4.](#) Máscara pectoral de jadeíta del Museo de Arte de Brooklyn (máscara MAB).

[Figura 5.](#) Pectoral de cuarcita de Dumbarton Oaks.

[Figura 6.](#) Proceso de creación de imágenes.

[Figura 7.](#) Proceso de creación de imágenes.

[Figura 8.](#) Proceso de creación de imágenes.

[Figura 9.](#) Proceso de creación de imágenes.

[Figura 10.](#) Pectoral de jade de Dumbarton Oaks (Pectoral DO).

[Figura 11.](#) Cíncel de jadeíta de Dumbarton Oaks (Cíncel DO).

[Figura 12.](#) Cuchara de jade del Museo del Jade (Cuchara MJ).

[Figura 13.](#) Placa de jade no. 4444 (INS 4444) del Museo del Jade.

[Figura 14.](#) Placa de jade no. 4443 (INS 4443) del Museo del Jade.

[Figura 15.](#) Placa de jade no. 4442 (INS 4442) del Museo del Jade.

[Figura 16.](#) Placa de jade no. 4441 (INS 4441) del Museo del Jade.

[Figura 17.](#) Placa de jade no. 4440 (INS 4440) del Museo del Jade.

- [Figura 18](#). Placa de jade no. 2007 (INS 2007) del Museo del Jade.
- [Figura 19](#). Placa de jade no. 2006 (INS 2006) del Museo del Jade.
- [Figura 20](#). Disco de pizarra no. 6528 (INS 6528) del Museo del Jade.
- [Figura 21](#). Placa de jade no. 4563 (INS 4563) del Museo del Jade.
- [Figura 22](#). Disco de pizarra de La Fortuna (Disco LF).
- [Figura 23](#). Figurilla de jaguar del Museo Peabody de Yale (Jaguar MPY).
- [Figura 24](#). Cuenta tubular de jade del cenote (CNT 6125).
- [Figura 25](#). Cuenta tubular de jade del cenote (CNT 22001).
- [Figura 26](#). Panel inferior de glifos de la Estela Hauberg (Estela HBG).
- [Figura 27](#). Panel inferior de glifos de la Estela Hauberg (Estela HBG).
- [Figura 28](#). Panel inferior de glifos de la Estela Hauberg (Estela HBG).
- [Figura 29](#). Panel inferior de glifos de la Estela Hauberg (Estela HBG).
- [Figura 30](#). Panel inferior de glifos de la Estela 10 de Kaminaljuyú (Estela 10 KJ).
- [Figura 31](#). Hacha de jade de Hatzcap Ceel (Hacha HTZ).
- [Figura 32](#). Hacha de jade de Kendal (Hacha KND).
- [Figura 33](#). Concha de almeja sin procedencia (Concha SPR, K763).
- [Figura 34a](#). La orejera de jade de Pomona (Orejera PMA).
- [Figura 34b](#). La orejera de jade de Pomona (Orejera PMA).
- [Figura 35](#). El pectoral del Museo Británico (Pectoral MB).
- [Figura 36](#). La placa de jade del Museo de Cleveland (Placa MC).
- [Figura 37](#). Una placa de jade según se informa de Nosara, Nicoya, Costa Rica, publicada en Stone (1968:figura 9).
- [Figura 38](#). Una placa de jade sin procedencia según se informa de Costa Rica, publicada en Stone (1977:68, figura 78c).
- [Figura 39](#). Texto del Pectoral DO, Coe (1966:figura 11).
- [Figura 40](#). Texto del Pectoral DO, Schele y Miller (1986:120).

[Figura 41](#). Texto del Pectoral DO, Mora-Marín (1997:figura 3).

[Figura 42](#). Cuchara MJ, Dorie Reents-Budet, parcialmente publicada en Anderson (1993:113).

[Figura 43](#). Cuchara MJ, Mora-Marín (1997:figura 5).

[Figura 44](#). Texto del jaguar MPY, Coe (1973:25).

[Figura 45](#). Concha de almeja SPR, John Montgomery, parcialmente publicada en Anderson (1993:112-113).

[Figura 46](#). Discusión epigráfica.

[Figura 47](#). Discusión epigráfica.

[Figura 48](#). Discusión epigráfica.

[Figura 49](#). Discusión epigráfica.

Referencias Citadas

Anderson, L.B.

- 1993 *The Writing System of La Mojarra and Associated Monuments, Vols. 1-2. Ecological Linguistics.*

Ayala, M.

- 1983 Origen de la escritura jeroglífica maya. En *Antropología e historia de los mixe-zoques y mayas: homenaje a Frans Blom*, editado por Lorenzo Ochoa y Thomas A. Lee, Jr. México: Universidad Nacional Autónoma de México, Instituto de Investigaciones Filológicas, Centro de Estudios Mayas.

Coe, M.D.

- 1966 An Early Stone Pectoral From Southeastern México. *Studies in Pre-Columbian Art and Archaeology, Number 1*. Dumbarton Oaks, Trustees for Harvard University. Washington, D.C.

- 1973 *The Maya Scribe and His World*. New York: The Grolier Group.

- 1976 Early Steps in the Evolution of Maya Writing. En *Origins of Religious Art and Iconography in Preclassic Mesoamerica*, UCLA Latin America Studies Series, A Book on Lore, Volume 31, editado por H.B. Nicholson.

Coe, M., y J. Kerr

- 1998 *The Art of the Maya Scribe*. Harry N. Abrams, Inc., Publishers.

Covarrubias, M.

- 1957 *Indian Art of México and Central America*. New York: Alfred A. Knopf.

Fahsen, F.

- 1987 Derivaciones históricas implícitas en la evolución de la escritura Maya. *Anales de la Academia de Geografía e Historia de Guatemala*, Tomo LXI, Enero/Diciembre.

- 1988 Artistas y artesanos en la evolución de la escritura maya. *Anales de la Academia de Geografía e Historia de Guatemala*, Tomo LXII, Enero/Diciembre.

- 1999 La transición Preclásico Tardío - Clásico Temprano: El desarrollo de los estados mayas y la escritura. En *The Emergence of Lowland Maya Civilization: The Transition from the Preclassic to the Early Classic*, editado por Nikolai Grube, pp. 151-162. Alemania: Möckmühl.

Fields, V.M.

1989 The Origins of Divine Kingship among the Lowland Classic Maya. Tesis de Doctorado, Universidad de Texas en Austin.

Freidel, D., y L. Schele

1989 Dead Kings and Living Temples: Dedication and Termination Rituals among the Ancient Maya. En *Word and Image in Maya Culture. Explorations in Language, Writing, and Representation*, editado por William F. Hanks y Don S. Rice. Salt Lake City: University of Utah Press.

Grube, N.

1990 Die Entwicklung der Mayaschrift. Tesis de Doctorado, Universidad de Hamburgo.

1991 An Investigation of the Primary Standard Sequence on Classic Maya Ceramics. In *Sixth Palenque Round Table, 1986*, editado por Merle Greene Robertson. Norman: University of Oklahoma Press.

1994 Observations on the History of Maya Hieroglyphic Writing. In *Seventh Palenque Round Table, 1989*, editado por M.G. Robertson (editora general), y V.M. Fields (editor del volumen). San Francisco: The Pre-Columbian Art Research Institute.

Hansen, R.D.

1991 An Early Maya Text from El Mirador. *Research Reports on Ancient Maya Writing 37*. Center for Maya Research, Washington, D.C.

Houston, S.D., D. Stuart, y K.A. Taube

1989 Folk Classification of Classic Maya Pottery. *American Anthropologist* 91:720-6.

Justeson, J.S., y P. Mathews

1990 Evolutionary Trends in Mesoamerican Hieroglyphic Writing. *Visible Language* 24:88-132.

Kaufman, T.S.

1989 Mayan Comparative Studies. Monografía inédita en poder del autor.

Lacadena, A.

1996 *Evolución formal de las grafías escriturarias mayas: implicaciones históricas y culturales*. Tesis de Doctorado. Universidad Complutense de Madrid.

1998 Antipassive Constructions in the Maya Glyphic Texts. Ponencia presentada en la 63^a. Reunión Anual de la Society for American Archaeology en Seattle, Washington, Marzo 25-29, 1998.

MacLeod, B.

1990 *Deciphering the Primary Standard Sequence*. Tesis de doctorado inédita. Universidad de Texas en Austin.

Mora-Marín, D.F.

1996 The Social Context for the Origins of Mayan Writing: The Formative Ceremonial Complex, Portable Elite Objects, and Interregional Exchange. Under-graduate Senior Honors Thesis, Universidad de Kansas.

1997 The Origins of Mayan Writing: The Case for Portable Objects. En *U Mut Maya VII*, editado por Tom y Carolyn Jones, pp. 133-164. Arcata: Universidad Estatal de Humboldt.

1998 Antipassive and Pivot-Chaining Constructions in Classic Mayan Texts. Manuscrito inédito.

Reents-Budet, D., y V. Fields

1990 Incised Early Classic Maya Jade Plaques from Costa Rica. Manuscrito inédito en poder del autor.

Schele, L., y M.E. Miller

1986 *The Blood of Kings: Dynasty and Ritual in Maya Art*. New York: George Braziller, Inc., en asociación con el Museo de Arte Kimbell, de Fort Worth.

Soustelle, J.

1979 *Les Olmèques: La plus ancienne civilisation du Mexique*. Arthaud.

Stone, D.Z.

1968 Introducción: el problema y las bases históricas y arqueológicas. *Acta*, 37th International Congress of Americanists (Buenos Aires, 1966), Vol. 4.

1977 *Pre-Columbian Man in Costa Rica*. Cambridge: Peabody Museum Press.

Stuart, D.

1989 Hieroglyphs on Maya Vessels. En *The Maya Vase Book: A Corpus of Rollout Photographs of Maya Vases*, Vol. 1, de Justin Kerr.

1995 *A Study of Maya Inscriptions*. Tesis de Doctorado. Universidad de Vanderbilt, Nashville, Tennessee.

Taube, K.A.

1998 The Jade Hearth: Centrality, Rulership, and the Classic Maya Temple.
En *Function and Meaning in Classic Maya Architecture*, editado por Stephen
D. Houston, pp. 373-425. Washington, D.C.: Dumbarton Oaks Research
Library and Collection.